

电子电路与系统基础(B1)---线性电路---2020秋平

第3讲：电路元件---电容与电感

李国林

清华大学电子工程系

电路元件 内容

- 基本概念
 - 端口与网络/有源与无源/线性与非线性/时变时不变
- 理想电路元件
 - 电源
 - 电阻
 - 电容
 - 冲激信号与阶跃信号
 - 电感

回顾1：有源与无源

- 具有向端口外提供电能量能力的网络是有源网络，不具该能力的网络为无源网络
 - 电阻是无源的，电源是有源的
 - 有初始电压的电容是有源的，无初始电压的电容是无源的
 - 有初始电流的电感是有源的，无初始电流的电感是无源的
 - 有初值的电容、电感是有源的，源如何体现在等效电路中？
 - 如何用电路语言描述该有源性？

回顾2：电容和电感是对偶元件

- 对偶量互换，描述方程形式不变
 - 知其一，则知其二

	对偶 duality		
电压 v	电场 E	磁场 H	电流 i
电荷 q	$q = Cv$	$\varphi = Li$	磁通 φ
电容 C	$i = \frac{dq}{dt} = C \frac{dv}{dt}$	$v = \frac{d\varphi}{dt} = L \frac{di}{dt}$	电感 L
串联			并联
网格/回路			结点

- 下面对电容电感的讨论以电容为主，电感的相关结论由电容表述对偶表述即可
 - 本课程只关注线性时不变电容/电感

电容

$$\nabla \times \vec{H} = \vec{J} + \frac{\partial \vec{D}}{\partial t}$$

- 电容是对导体结构保持自由电荷能力大小的描述

$$C = \frac{q}{v}$$

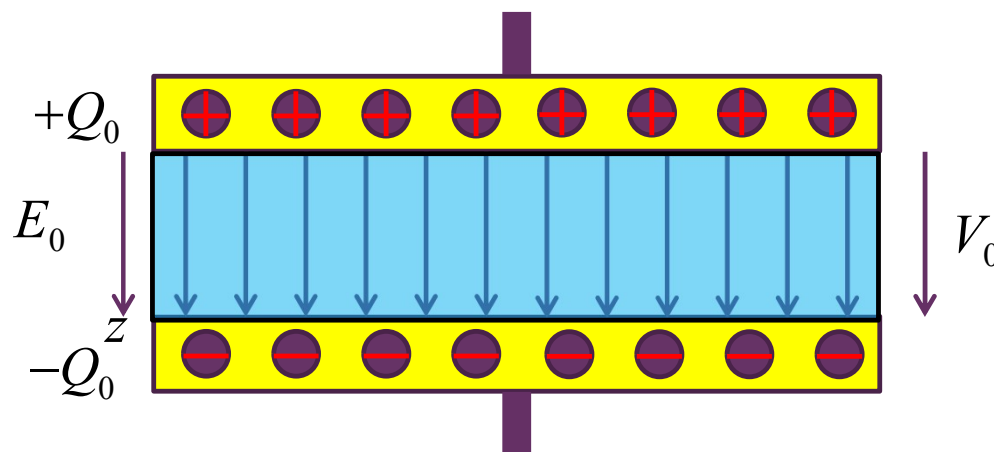
- 自由电荷在导体**结点**上积累或消散，电荷形成的空间电场随时间发生变化，这种时变电场形成**位移电流**：电容描述导体结构（结点）电压变化形成位移电流的大小

- 电容同时也是对导体结构电能存储能力大小的描述

$$i(t) = \frac{dq(t)}{dt} = C \frac{dv(t)}{dt}$$

- 电压变化导致自由电荷积累或流失：吸收或释放电能

$$E(t) = \frac{1}{2} C v^2(t)$$



$$C = \frac{Q_0}{V_0} = \frac{\sigma_s S}{E_0 d} = \epsilon \frac{S}{d}$$

电感

$$\nabla \times \vec{E} = -\frac{\partial \vec{B}}{\partial t}$$

$$L = \frac{\varphi}{i}$$

■ 电感是对导线结构流通电流产生与链接磁通能力大小的描述

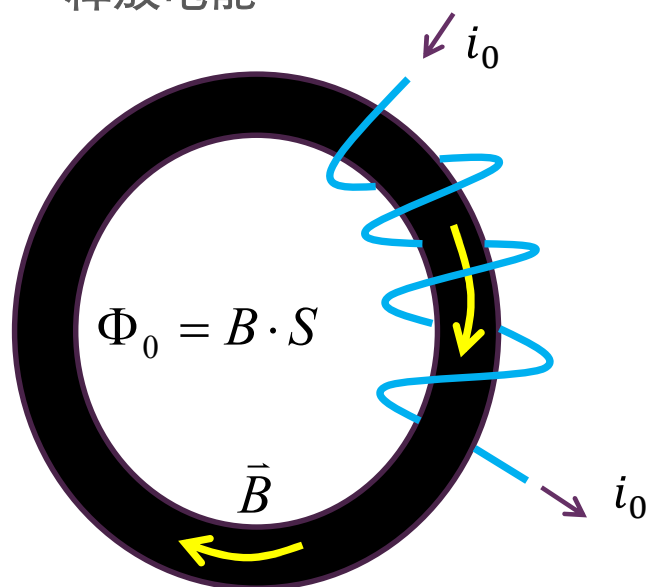
- 导线回路有电流流过，电流产生磁场，磁场在导线平面的通量为磁通，因而电流产生磁通。当电流发生变化时，磁通发生变化，时变磁通产生感生电动势，以阻碍电流的变化：电感描述导线结构（回路）电流变化形成感生电动势的大小

$$v(t) = \frac{d\varphi(t)}{dt} = L \frac{di(t)}{dt}$$

■ 电感同时也是对导线结构磁能存储能力大小的描述

- 电流变化导致磁通积累或流失：吸收电能（以磁通/磁能的形式存储），释放电能

$$E(t) = \frac{1}{2} Li^2(t)$$



$$L = \frac{N\Phi_0}{i_0} = \frac{NBS}{i_0}$$

$$= \frac{N \left(\mu \frac{N}{p} i_0 \right) S}{i_0} = N^2 \mu \frac{S}{p}$$

电容和电感

$$C = \varepsilon \frac{S}{d} \quad L = N^2 \mu \frac{S}{p}$$

- 电路中，电容效应和电感效应无所不在
- 构成电路的基材是导体、半导体和绝缘体（介质），电路中的结点都是导体结点，而导体结点总是存在着电荷积累和消散效应，因而电容效应在电路中处处存在
- 电流形成回路在电路中流通以形成某种电路功能，电流回路中总是存在着磁通的积累和消散效应，因而电感效应在电路中也处处存在
- 人们在制作电路器件形成某种电特性（电功能）时，电路器件的结构本身就会形成电容效应和电感效应，如果这些电容效应和电感效应不是设计本身需要的，则称之为寄生效应
 - 频率较低时，寄生的小电容视为开路，寄生的小电感视为短路
 - 频率较高时，即使寄生的电容、电感都很小，其效应却不能忽略不计

一、电容和电感的特性

特性1---记忆性

$$i(t) = C \frac{dv(t)}{dt}$$

$$v(t) = \frac{1}{C} \int_{-\infty}^t i(\tau) \cdot d\tau = V_0 + \frac{1}{C} \int_0^t i(\tau) \cdot d\tau$$

电容电压依赖于之前所有时间段的电流，它是有记忆的

电容的端口电压是**状态变量**：下一时刻电容电压是上一时刻电容电压基础上的增量，该增量由电容极板上的电荷增量决定

$$v(t + \Delta t) = \frac{1}{C} \int_{-\infty}^{t+\Delta t} i(\tau) \cdot d\tau = \frac{1}{C} \int_{-\infty}^t i(\tau) \cdot d\tau + \frac{1}{C} \int_t^{t+\Delta t} i(\tau) \cdot d\tau$$

$$= v(t) + \frac{\Delta Q}{C} = v(t) + \Delta v$$

状态变量的特征：当前状态由前一时刻状态转移而来，在前一状态基础上变化而来

$$v(t) = Ri(t)$$

电阻则是无记忆元件：
当前电压仅由当前电流决定，和以前的电流没有任何关系

特性2---连续性

$$v_C(t) = \frac{1}{C} \int_{-\infty}^t i_C(\tau) \cdot d\tau$$

$$v_C(t + \Delta t) - v_C(t) = \frac{1}{C} \int_t^{t+\Delta t} i_C(\tau) \cdot d\tau$$

如果电流有界,

$$|i_C(\tau)| < I_M, \tau \in [t, t + \Delta t]$$

$$0 \leq |v_C(t + \Delta t) - v_C(t)| = \left| \frac{1}{C} \int_t^{t+\Delta t} i_C(\tau) \cdot d\tau \right| \leq \frac{1}{C} \int_t^{t+\Delta t} |i_C(\tau)| \cdot d\tau < \frac{1}{C} \int_t^{t+\Delta t} I_M \cdot d\tau = \frac{I_M \Delta t}{C}$$

$$\Delta t \rightarrow 0 \quad |v_C(t^+) - v_C(t^-)| = 0$$

$$v_C(t^+) = v_C(t^-) \quad v_C(0^+) = v_C(0^-)$$

则电容两端电压不会发生突变，电容电压是连续变化的

功率与能量

$$i(t) = C \frac{dv(t)}{dt}$$

$$P(t) = v(t) \cdot i(t) = v(t) \cdot C \frac{dv(t)}{dt}$$

$$E(t) = \int_{-\infty}^t P(\tau) d\tau = \int_{-\infty}^t \left(C v(\tau) \frac{dv(\tau)}{d\tau} \right) d\tau$$

$$= \int_{-\infty}^t C v(\tau) dv(\tau) = \frac{1}{2} C v^2(\tau) \Big|_{-\infty}^t$$

$$= \frac{1}{2} C v^2(t)$$

假设 $v(-\infty) = 0$

电容储能

$$i(t) = Gv(t)$$

$$P(t) = v(t) \cdot i(t) = Gv^2(t)$$

$$E(t) = \int_{-\infty}^t P(\tau) d\tau = \int_{-\infty}^t Gv^2(\tau) d\tau$$

电阻耗能

电容吸收的能量可以全部释放出去

$$E_C(t) = \frac{1}{2} C v^2(t) = \frac{q^2(t)}{2C}$$

电容吸收的电能，以电荷存储的形式存储在电容结构中

$$\Delta E = E_C(t_2) - E_C(t_1) \quad t_1 \leq t \leq t_2$$

$$= \frac{1}{2} C v^2(t_2) - \frac{1}{2} C v^2(t_1)$$

$$= \frac{1}{2} C (v^2(t_2) - v^2(t_1))$$

$$\underset{v(t_2)=0}{=} -\frac{1}{2} C v^2(t_1) = -E_C(t_1)$$

电容吸收的（存储的）能量，可以在下一个时间段完全释放出来---电容本身不消耗能量，电容是无损的

$$E_G(t) = G \int_{-\infty}^t v^2(\tau) d\tau$$

$$\Delta E = E_G(t_2) - E_G(t_1)$$

$$= G \int_{-\infty}^{t_2} v^2(\tau) d\tau - G \int_{-\infty}^{t_1} v^2(\tau) d\tau$$

$$= G \int_{t_1}^{t_2} v^2(\tau) d\tau > 0$$

电阻不具向端口外提供电能的能力，电阻一直在吸收电能量，电阻吸收的电能以热能/光能/电磁辐射能/机械能或其他能量形式耗散到周围空间了，因而电阻是有损的

特性3---无损性

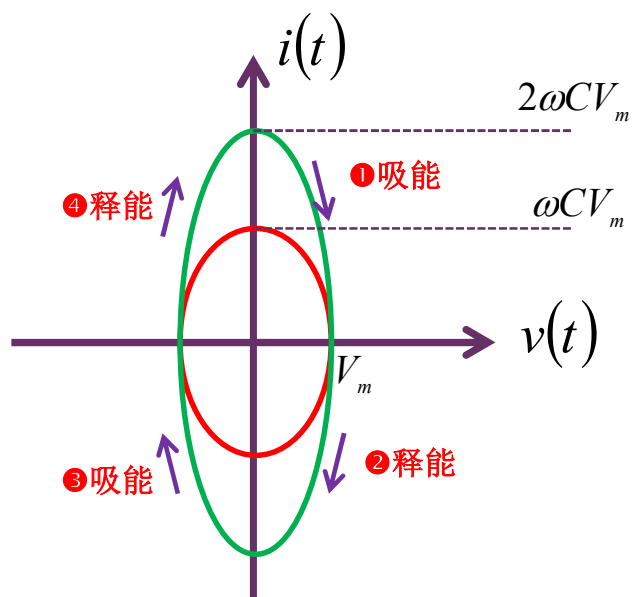
$$i(t) = C \frac{dv(t)}{dt}$$

$$v(t) = V_m \sin \omega t$$

$$i(t) = Gv(t)$$

$$i(t) = \omega C V_m \cos \omega t$$

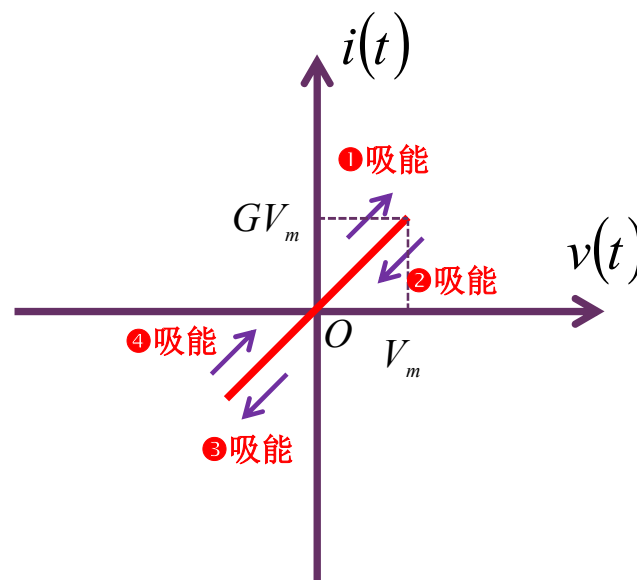
$$i(t) = G V_m \sin \omega t$$



吸能、释能；
释能=吸能：无损

不同频率，
不同伏安
运行轨迹，
和信号形
式相关

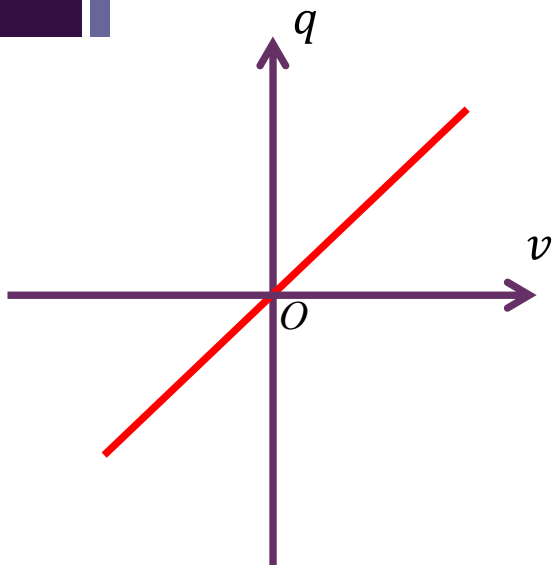
不能用伏
安*iv*特性
描述电容**C**，
用*qv*特性
描述电容



用伏
安*iv*
特性
描述
电阻
R，
就是
一条
直线

任意频率，都在一条特性曲线上
始终在一三象限：一直吸能，耗能

电容特性描述



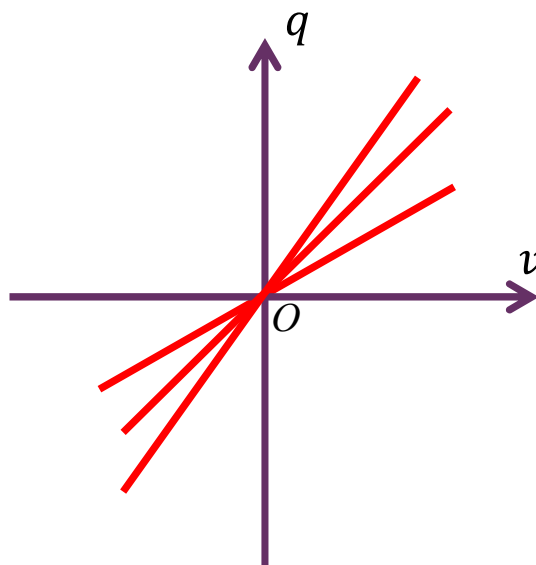
线性时不变电容

$$q(t) = Cv(t)$$

$$i(t) = \frac{dq(t)}{dt}$$

$$= C \frac{dv(t)}{dt}$$

$$\frac{dq}{dv} = C$$



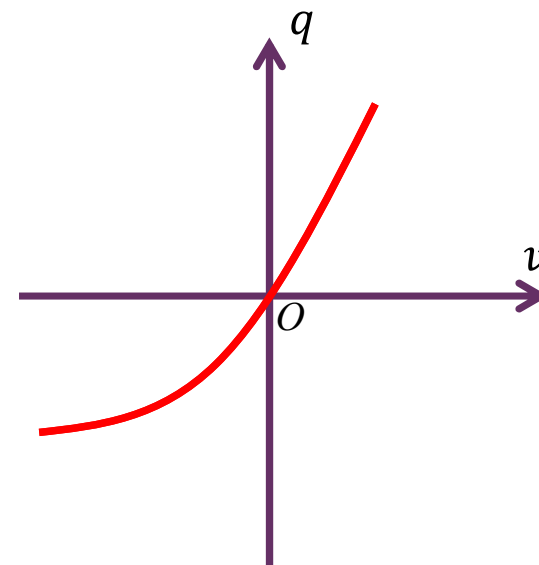
线性时变电容

$$q(t) = C(t)v(t)$$

$$i(t) = \frac{dq(t)}{dt} = \frac{d(C(t)v(t))}{dt}$$

$$= C(t) \frac{dv(t)}{dt} + v(t) \frac{dC(t)}{dt}$$

$$\frac{dq}{dv} = C(t)$$



非线性时不变电容

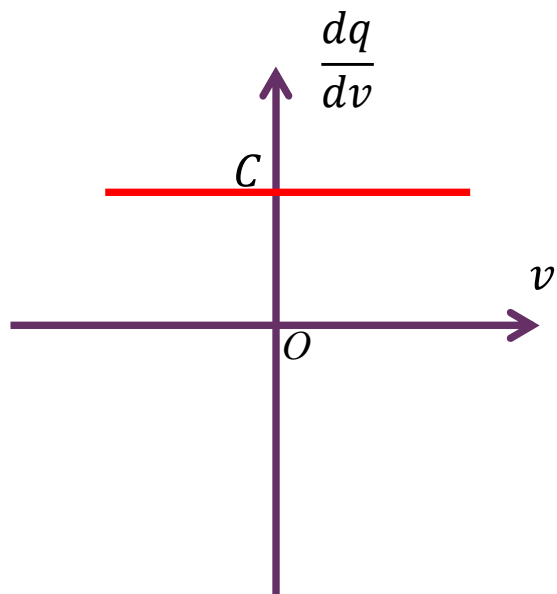
$$q(t) = q(v(t))$$

$$i(t) = \frac{dq(t)}{dt}$$

$$= \frac{dq}{dv} \cdot \frac{dv(t)}{dt}$$

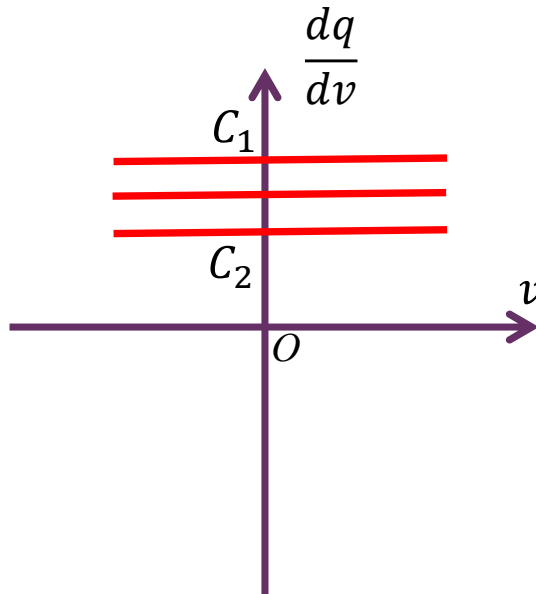
微分电容

微分电容



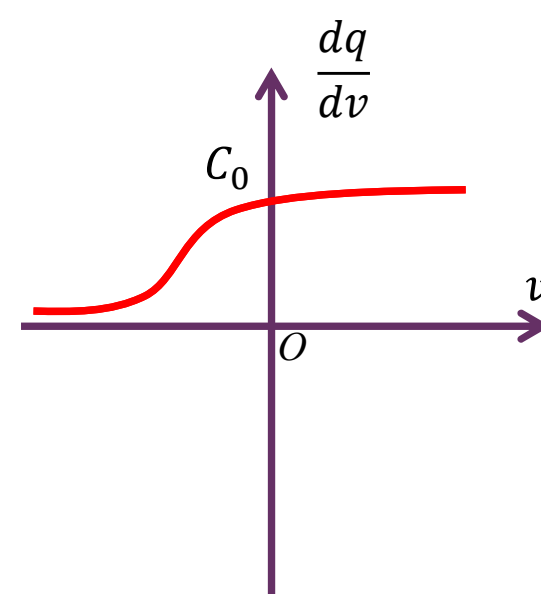
线性时不变电容

容值是常量，故而
线性时不变



线性时变电容

容值不随端口电压改变，
故而线性
容值随时间变化和端口
电压无关，故而时变



非线性时不变电容

容值变化由端口电
压决定，故而非线
性

电容和电感的三个基本特性

- 电容端口电压是状态变量：电容电压依赖于之前所有时间段的电流，它是有记忆的
 - 电感端口电流是状态变量：电感电流依赖于之前所有时间段的电压，它是有记忆的

$$v(t) = V_0 + \frac{1}{C} \int_0^t i(\tau) \cdot d\tau \qquad i(t) = I_0 + \frac{1}{L} \int_0^t v(\tau) \cdot d\tau$$

- 如果端口电流有界，则电容电压不能突变，电容电压是连续的
 - 如果端口电压有界，则电感电流不能突变，电感电流是连续的

$$v_C(t^+) = v_C(t^-) \qquad i_L(t^+) = i_L(t^-)$$

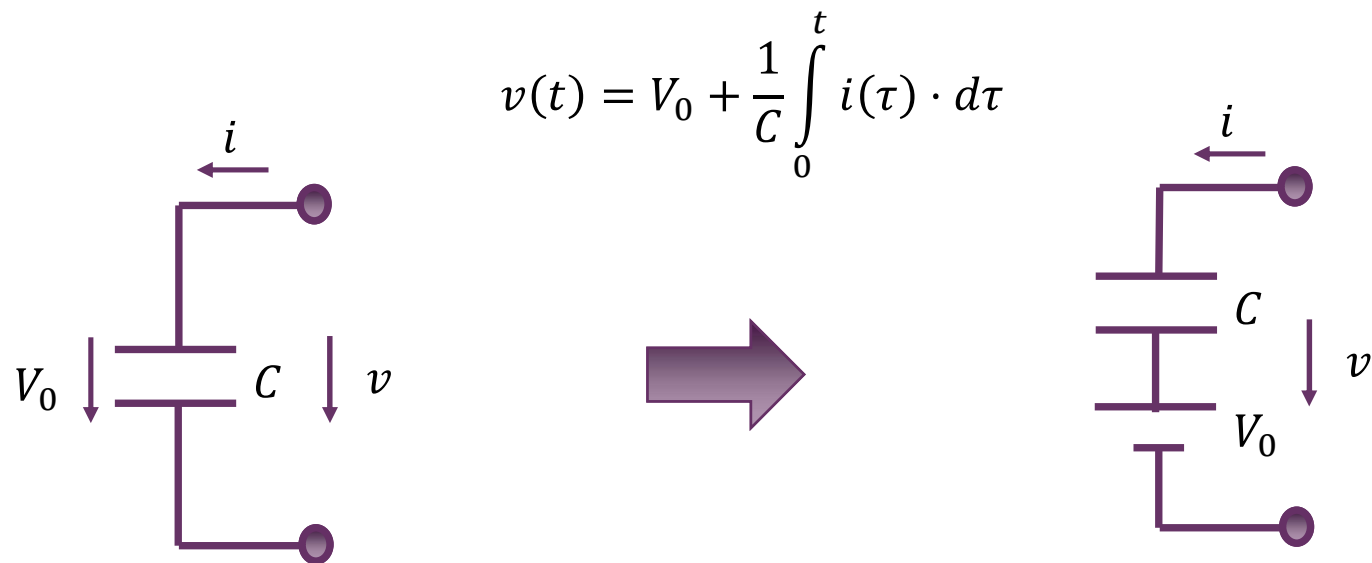
- 电容可吸收电能，以电荷存储形式存储为电能，该电能可全部释放，它自身不损耗能量（无损）
 - 电感可吸收电能，以磁通形态存储为磁能，该磁能可以全部释放，它自身不损耗能量（无损）

$$E_C(t) = \frac{1}{2} C v^2(t) = \frac{q^2(t)}{2C} \qquad E_L(t) = \frac{1}{2} L i^2(t) = \frac{\varphi^2(t)}{2L}$$

二、电容初始电压的源等效

- 电容具有初始电压，电容则可向外释放电能，因而具有初始电压的电容是有源的，其有源性如何体现？

本课程只考察时不变的线性电容和线性电感的性质及其应用

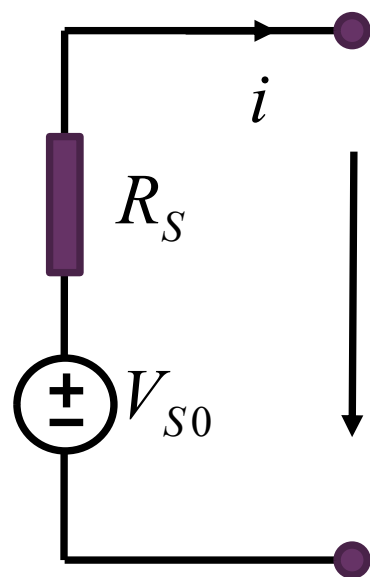


电容初始电压的有源性体现在和电容串联的恒压源上

$t > 0$ 等效电路

V_0 和 $t > 0$ 后的电流无关
 $t \leq 0$ 的所有行为在 $t > 0$ 后的后果都体现在初始电压 V_0 上

戴维南等效和诺顿等效



$$v = V_{S0} - i \cdot R_S$$

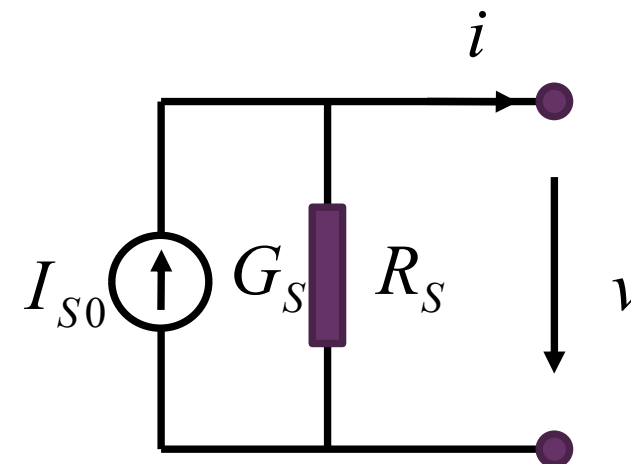
戴维南等效

Thevenin equivalent

流控形式等效电路

$$R_S = \frac{V_{S0}}{I_{S0}}$$

$$V_{S0} = R_S I_{S0} \quad I_{S0} = \frac{V_{S0}}{R_S}$$

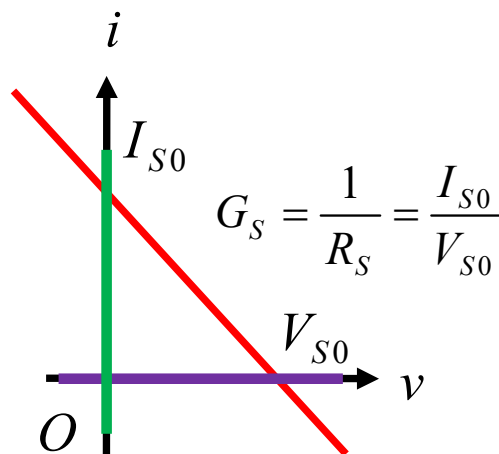


$$i = I_{S0} - v \cdot G_S$$

诺顿等效

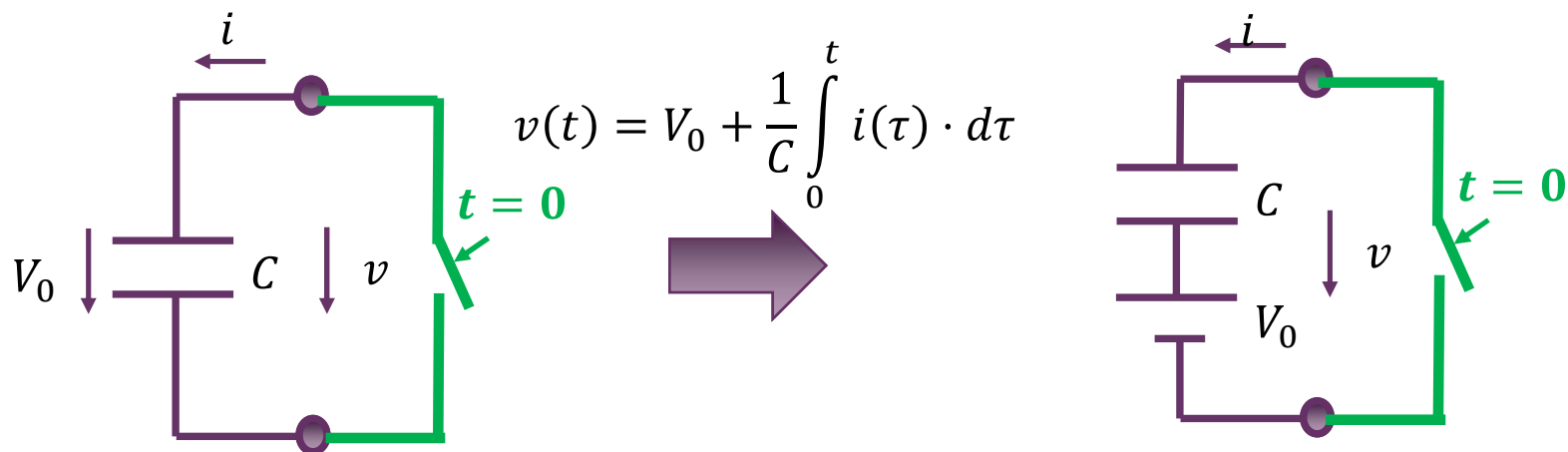
Norton equivalent

压控形式等效电路



戴维南源电压为端口开路电压，诺顿源电流为端口短路电流

有初始电压的电容的诺顿等效?



一短路，电容电压由 V_0 电压强制跳变为 0 电压

一短路，电容电压由 0 电压强制跳变为 $-V_0$ 电压

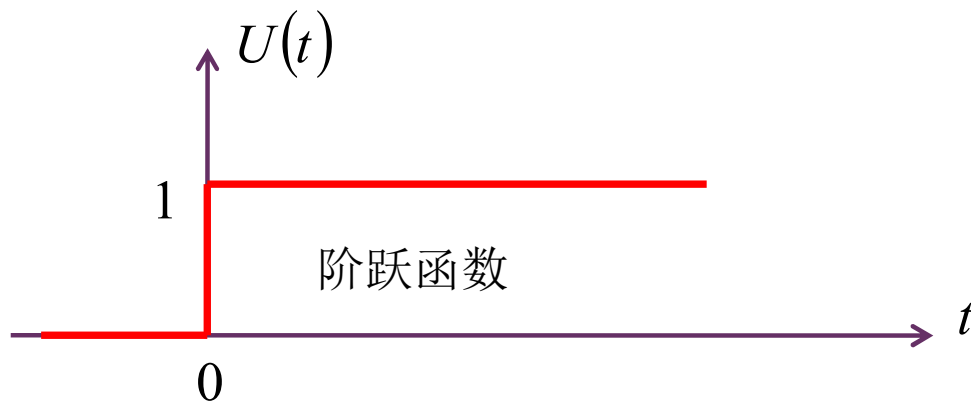
$$i(t) = C \frac{dv_C(t)}{dt}$$

$$v_C(t) = \begin{cases} V_0 & t < 0 \\ 0 & t > 0 \end{cases}$$

$$v_{Ce}(t) = \begin{cases} 0 & t < 0 \\ -V_0 & t > 0 \end{cases}$$

出现了向下跳的跳变函数以及对跳变函数的微分（无穷大值？）

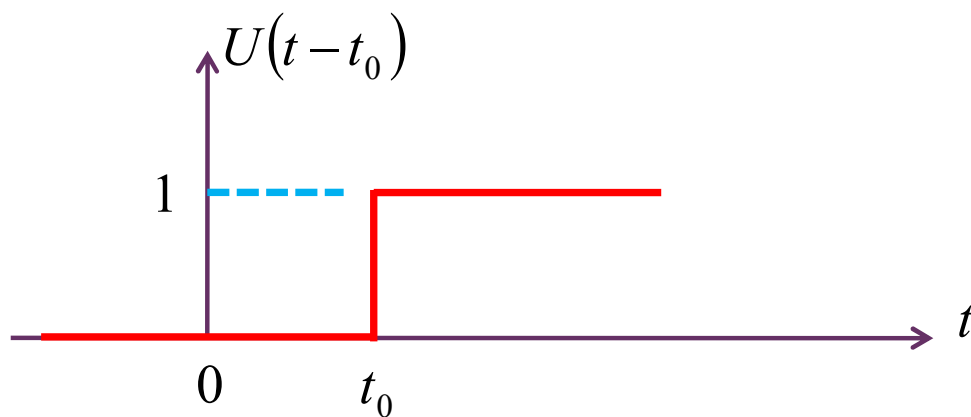
单位阶跃函数



$$U(t) = \begin{cases} 0 & t < 0 \\ 1 & t > 0 \end{cases}$$

$$U(t) = 0.5 \quad t = 0$$

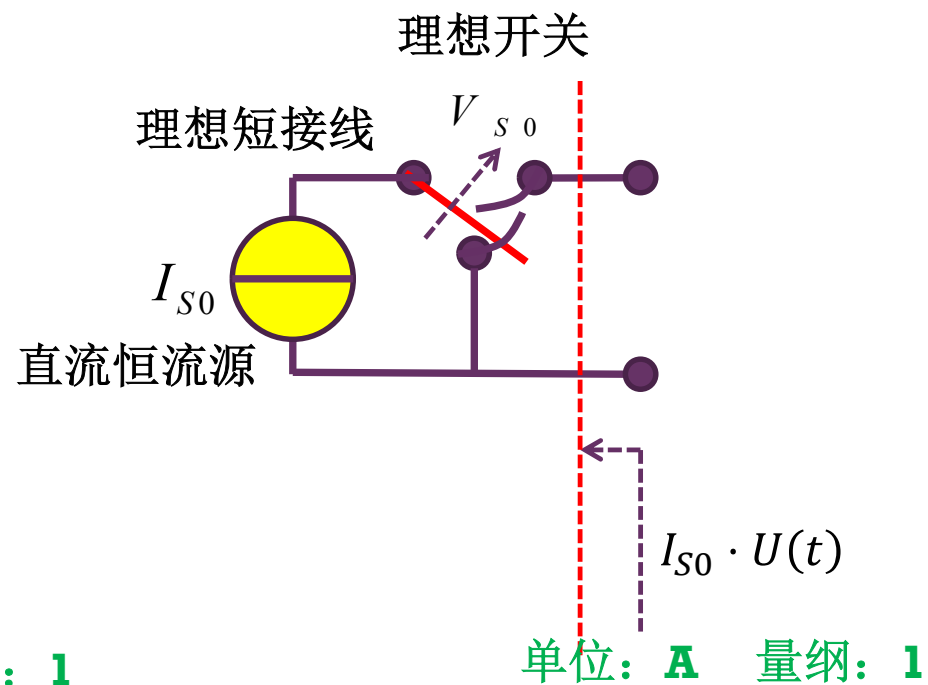
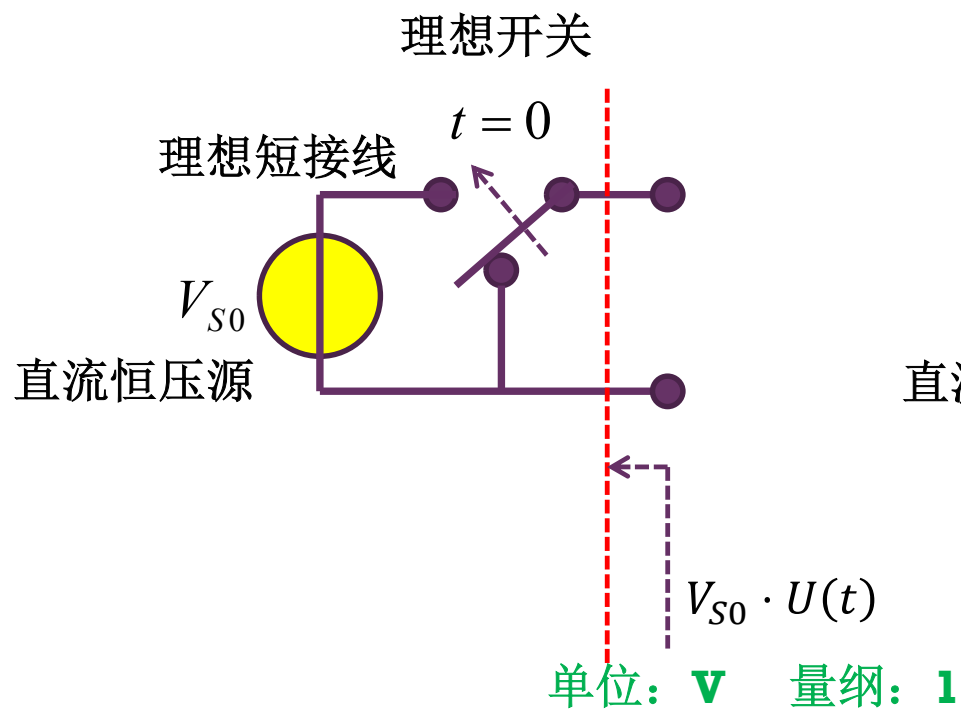
$$U(t) = 1 \quad t = 0 \quad ?$$



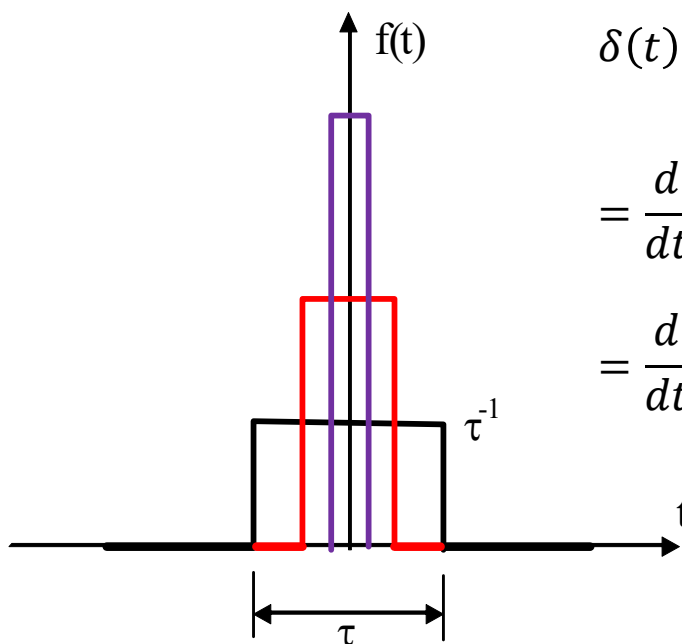
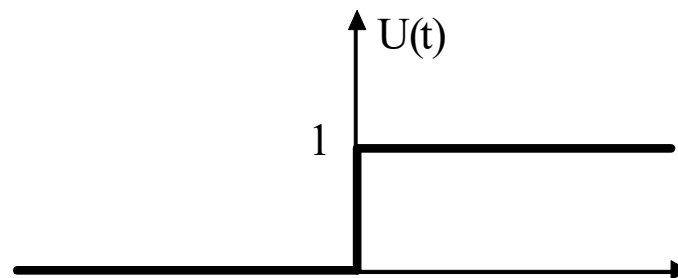
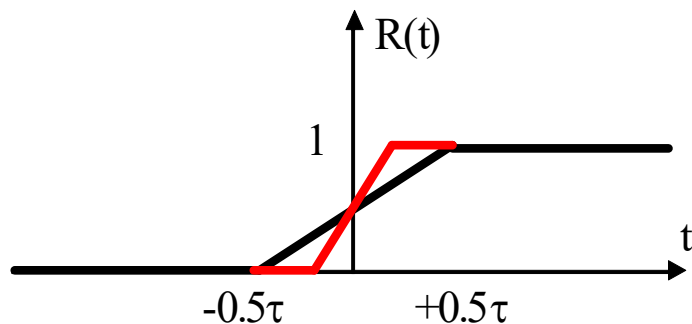
$$U(t-t_0) = \begin{cases} 0 & t < t_0 \\ 1 & t > t_0 \end{cases}$$

$t-t_0 < 0$
 $t-t_0 > 0$

阶跃信号源的电路实现



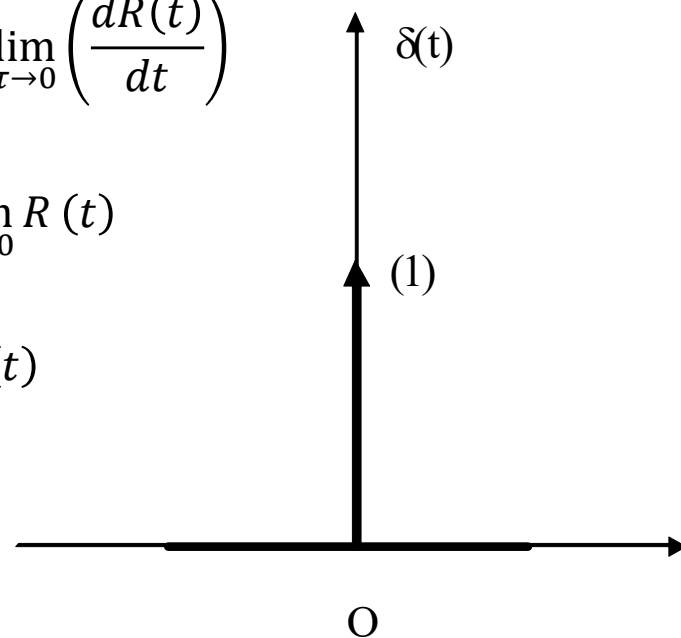
单位冲激函数



$$\delta(t) = \lim_{\tau \rightarrow 0} \left(\frac{dR(t)}{dt} \right)$$

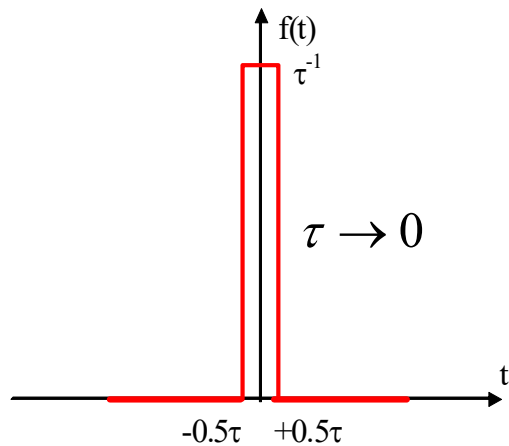
$$= \frac{d}{dt} \lim_{\tau \rightarrow 0} R(t)$$

$$= \frac{d}{dt} U(t)$$

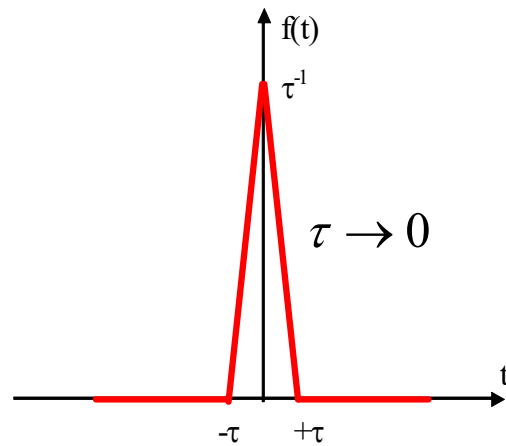


面积为1，宽度为0：单位冲激

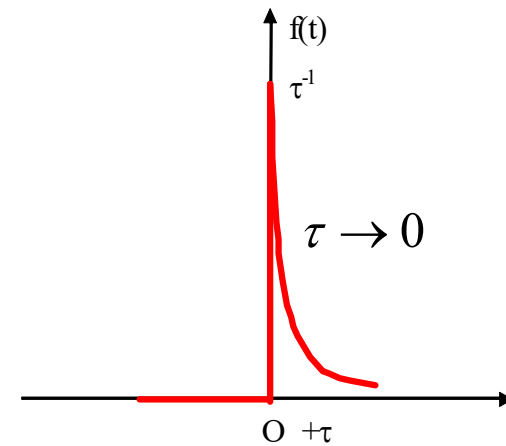
$$\tau \rightarrow 0 \Rightarrow \delta(t) = \begin{cases} \frac{\text{面积}1}{\text{宽度}0} & t = 0 \\ 0 & t \neq 0 \end{cases} \Rightarrow \begin{cases} \int_{-\infty}^{+\infty} \delta(t) dt = 1 & \text{面积为}1 \\ \delta(t) = 0 \quad (t \neq 0) & \text{宽度为}0 \end{cases}$$



$$f(t) = \begin{cases} \frac{1}{\tau} & +\frac{\tau}{2} > t > -\frac{\tau}{2} \\ 0 & \text{其他}t \end{cases}$$

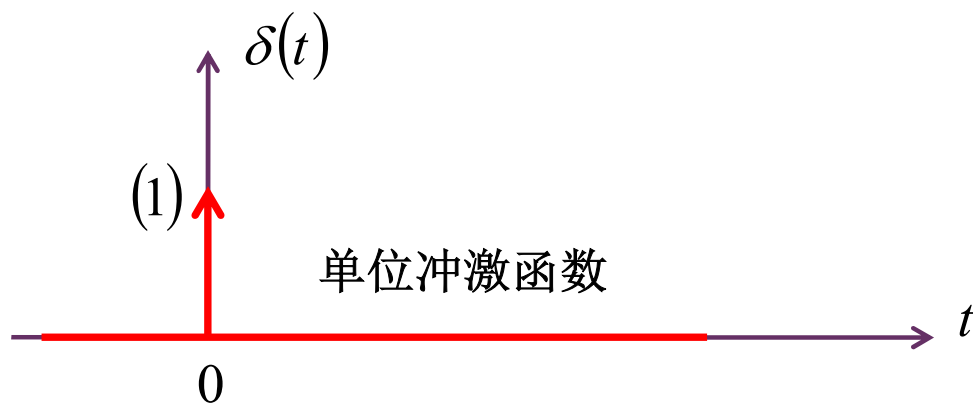


$$f(t) = \begin{cases} \frac{\tau-t}{\tau^2} & +\tau \geq t \geq 0 \\ \frac{\tau+t}{\tau^2} & 0 \geq t \geq -\tau \\ 0 & \text{其他}t \end{cases}$$



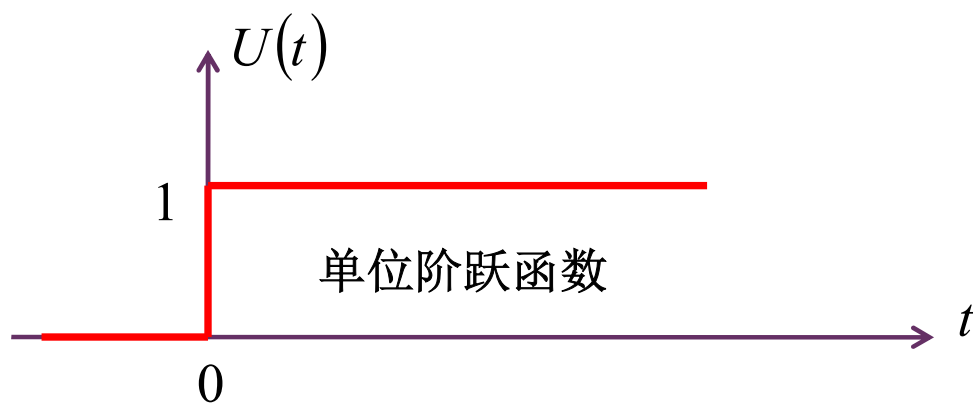
$$f(t) = \begin{cases} 0 & t < 0 \\ \frac{1}{\tau} e^{-\frac{t}{\tau}} & t \geq 0 \end{cases}$$

单位冲激和单位阶跃



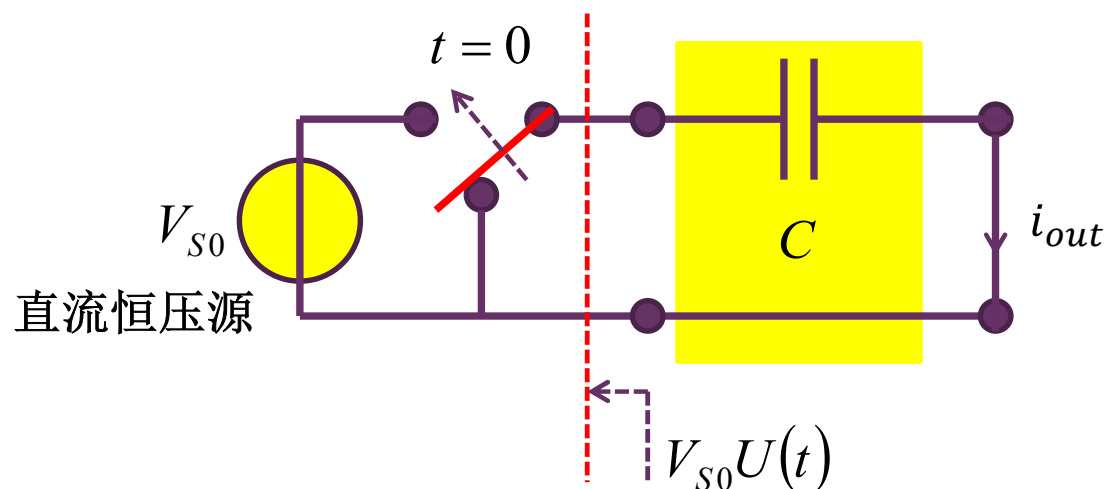
$$\frac{d}{dt}U(t) = \delta(t)$$

量纲: **1** 量纲: **1/s**



$$\int_{-\infty}^t \delta(\tau) d\tau = U(t)$$

冲激信号在电路中的抽象

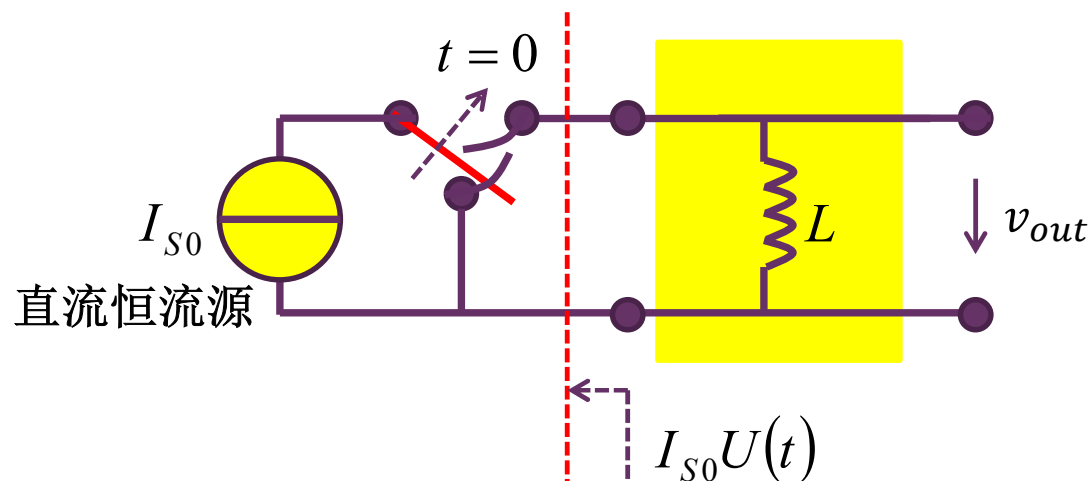


$$q(t) = CV_{S0}U(t)$$

$$i_{out}(t) = \frac{dq(t)}{dt}$$

$$= CV_{S0} \frac{dU(t)}{dt} = CV_{S0}\delta(t)$$

C 1/s



$$\varphi(t) = LI_{S0}U(t)$$

$$v_{out}(t) = \frac{d\varphi(t)}{dt}$$

$$= LI_{S0} \frac{dU(t)}{dt} = LI_{S0}\delta(t)$$

Wb 1/s

状态跳变的可能性

- 如果充电电流有界，则电容电压随时间是连续变化的
 - 当存在冲激电流时，电容电压则会出现跳变

$$v_C(t_0^+) - v_C(t_0^-) = \frac{1}{C} \int_{t_0^-}^{t_0^+} i_C(\tau) \cdot d\tau = V_0 U(t - t_0)_{t=t_0^+} = V_0$$

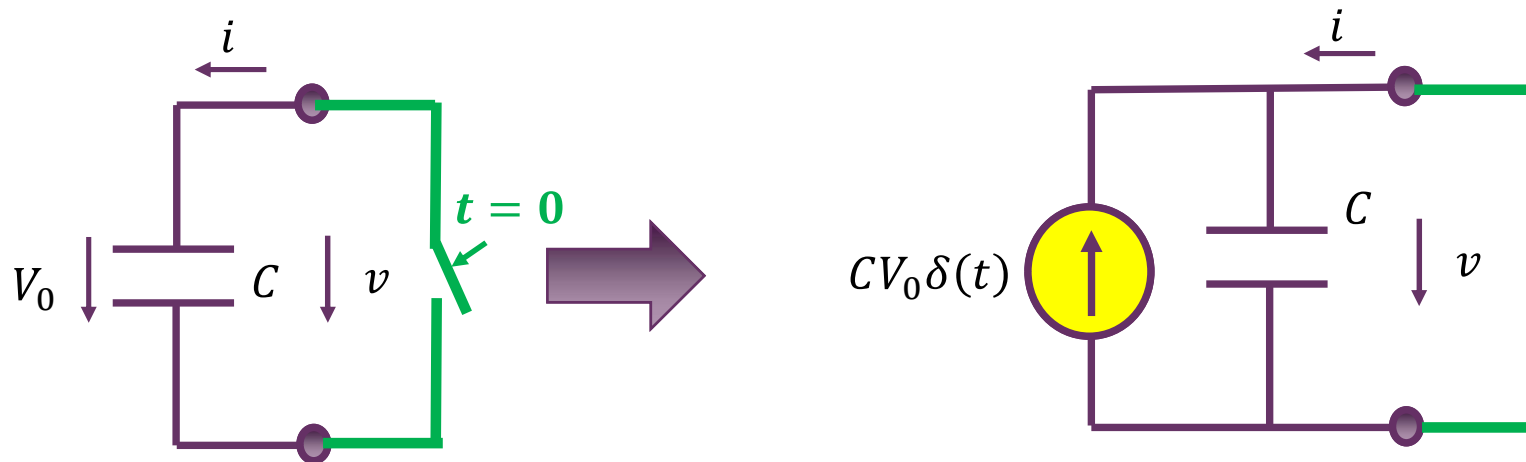
$$i_C(t) = CV_0 \cdot \delta(t - t_0)$$

- 如果充磁电压有界，则电感电流随时间是连续变化的
 - 当存在冲激电压时，电感电流则会出现跳变

$$i_L(t_0^+) - i_L(t_0^-) = \frac{1}{L} \int_{t_0^-}^{t_0^+} v_L(\tau) \cdot d\tau = I_0 U(t - t_0)_{t=t_0^+} = I_0$$

$$v_L(t) = LI_0 \cdot \delta(t - t_0)$$

有初始电压的电容的诺顿等效电路

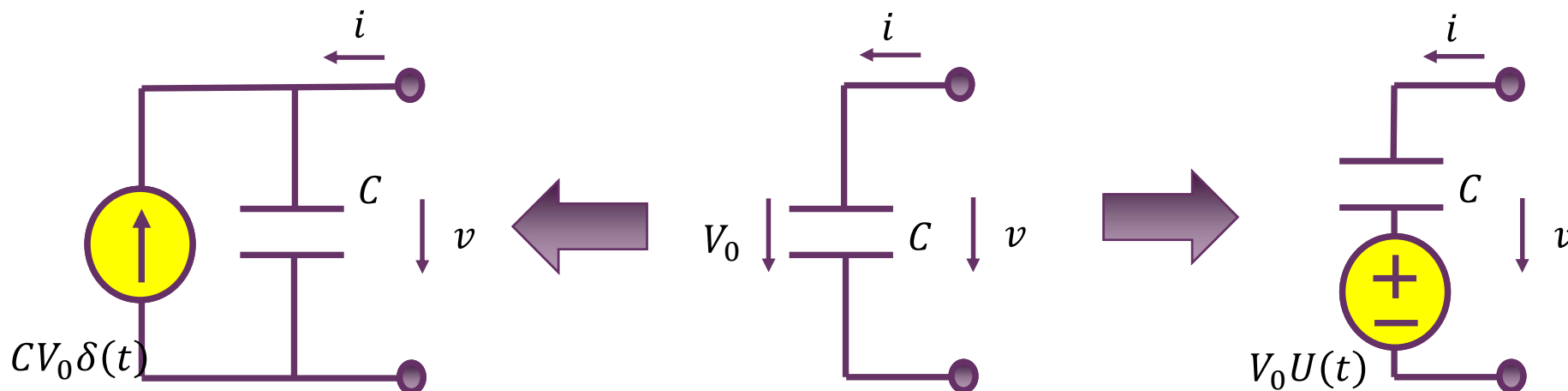


$$v_C(t) = \begin{cases} V_0 & t < 0 \\ 0 & t > 0 \end{cases} = V_0(1 - U(t))$$

端口短路电流为
$$i(t) = C \frac{d}{dt} v_C(t) = -CV_0\delta(t)$$

具有初始电压的电容的等效电路

一旦考虑初始电压，就有起始时间点的限制： $t \geq 0$



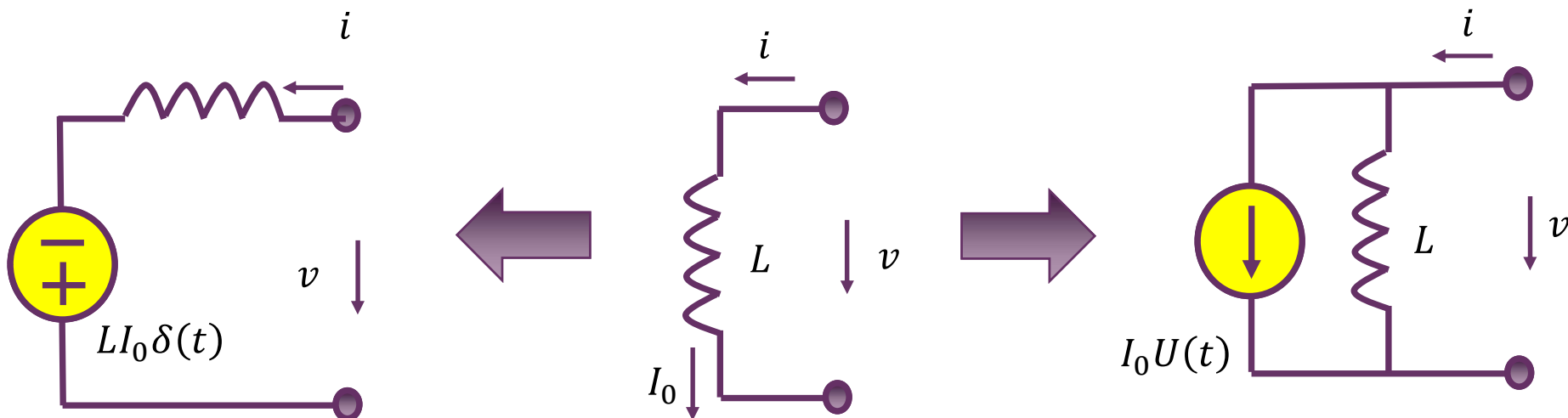
$$i(t) = C \frac{d}{dt} v(t) \quad \text{未考虑初始电压元件约束} \quad v(t) = V_0 + \frac{1}{C} \int_0^t i(\tau) \cdot d\tau \quad t \geq 0$$

$$i(t) = -CV_0\delta(t) + C \frac{d}{dt} v(t) \quad v(t) = V_0U(t) + \frac{1}{C} \int_0^t i(\tau) \cdot d\tau$$

考虑初始电压的元件约束，仅 $t \geq 0$ 成立

具有初始电流的电感的等效电路

一旦考虑初始电压，就有起始时间点的限制： $t \geq 0$



$$v(t) = L \frac{d}{dt} i(t)$$

未考虑初始电流元件约束

$$v(t) = -LI_0\delta(t) + L \frac{d}{dt} i(t)$$

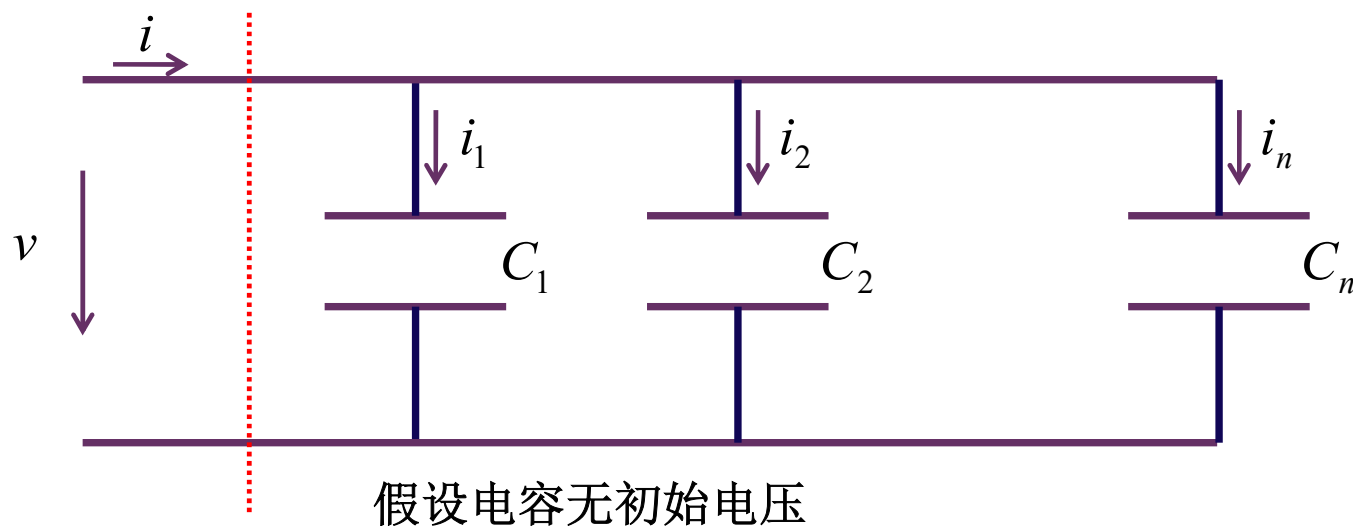
考虑初始电流的元件约束，仅 $t \geq 0$ 成立

$$i(t) = I_0 + \frac{1}{L} \int_0^t v(\tau) \cdot d\tau \quad t \geq 0$$

$$i(t) = I_0U(t) + \frac{1}{L} \int_0^t v(\tau) \cdot d\tau$$

三、电容/电感串并联

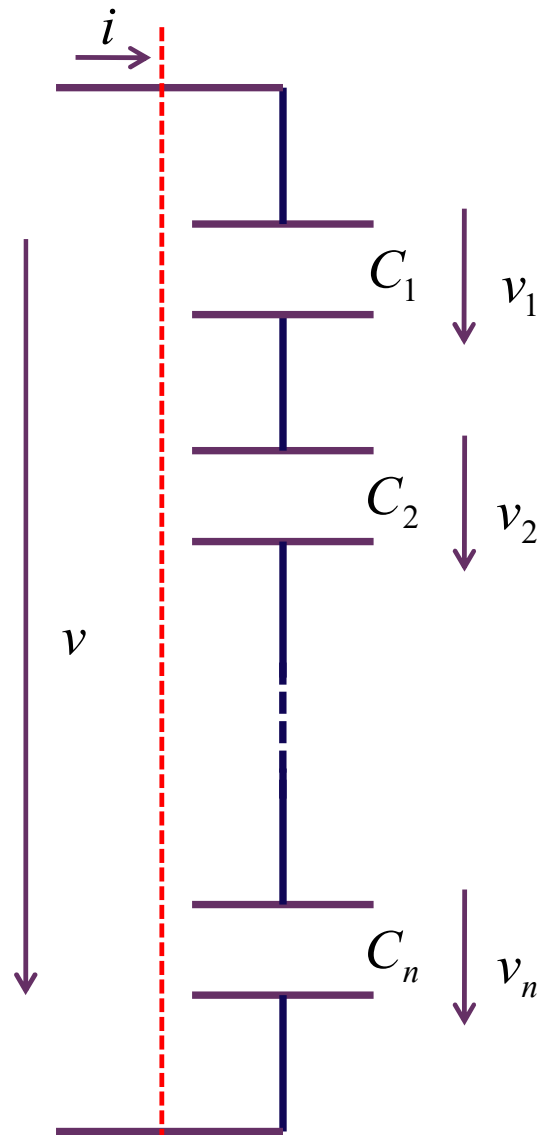
电容并联



$$i = \sum_{k=1}^n i_k = \sum_{k=1}^n \left(C_k \cdot \frac{dv}{dt} \right) = \left(\sum_{k=1}^n C_k \right) \cdot \frac{dv}{dt} = C \cdot \frac{dv}{dt}$$

$$C = \sum_{k=1}^n C_k$$

电容串联



假设电容无初始电压

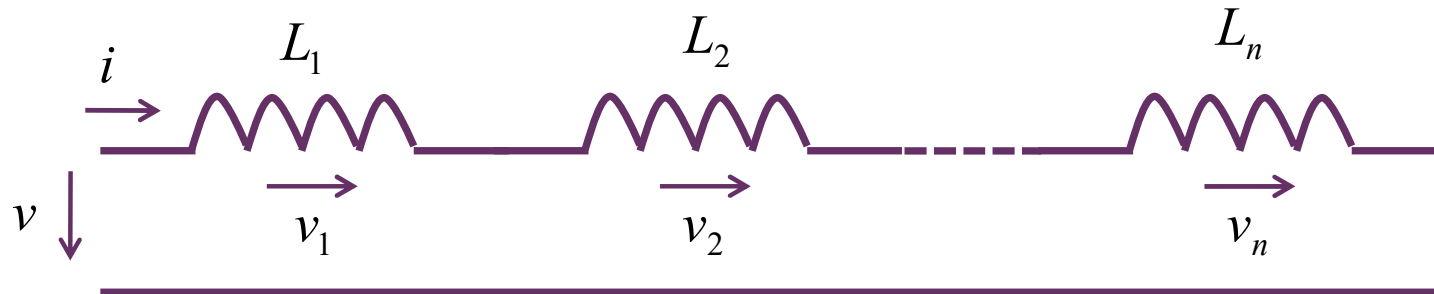
$$\begin{aligned}
 v &= \sum_{k=1}^n v_k = \sum_{k=1}^n \frac{1}{C_k} \cdot \int_0^t i dt \\
 &= \left(\sum_{k=1}^n \frac{1}{C_k} \right) \cdot \int_0^t i dt \\
 &= \frac{1}{C} \cdot \int_0^t i dt
 \end{aligned}$$

$$\frac{1}{C} = \sum_{k=1}^n \frac{1}{C_k}$$

电容和电导的串并联
公式形式一致

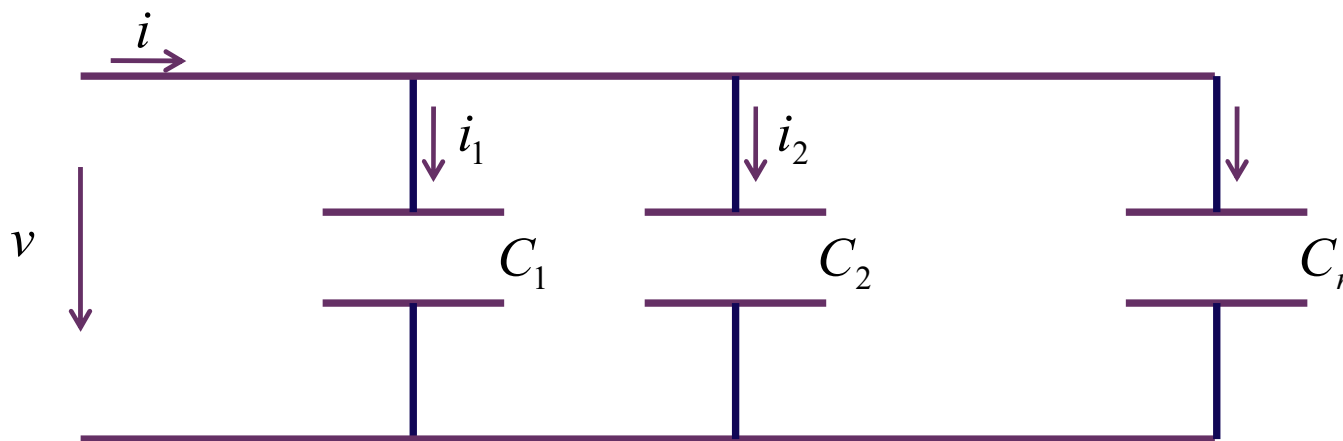
$$n = 2 \quad \frac{1}{C} = \frac{1}{C_1} + \frac{1}{C_2} \quad C = \frac{C_1 C_2}{C_1 + C_2}$$

电感串联 对偶 电容并联



$$L = \sum_{k=1}^n L_k$$

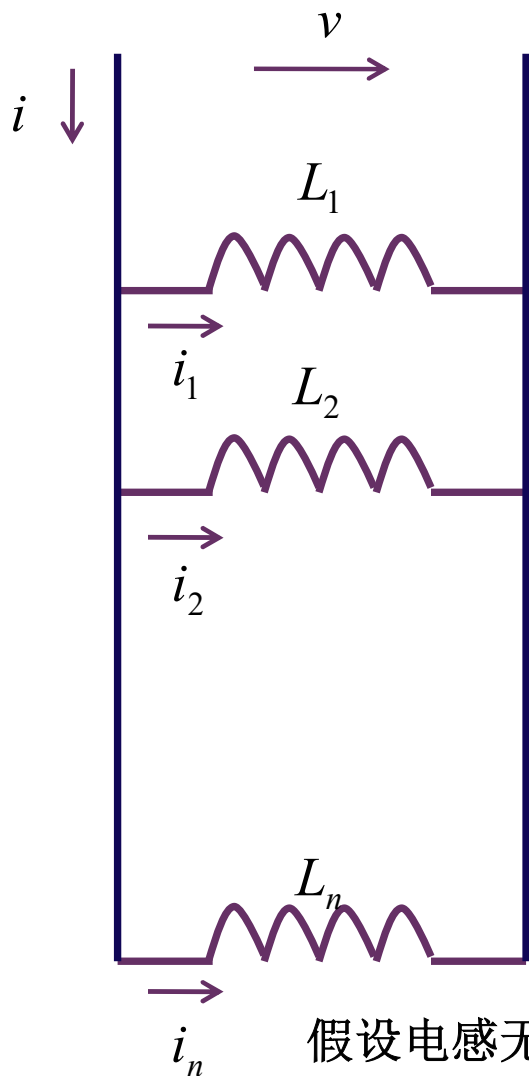
假设电感无初始电流



$$C = \sum_{k=1}^n C_k$$

假设电容无初始电压

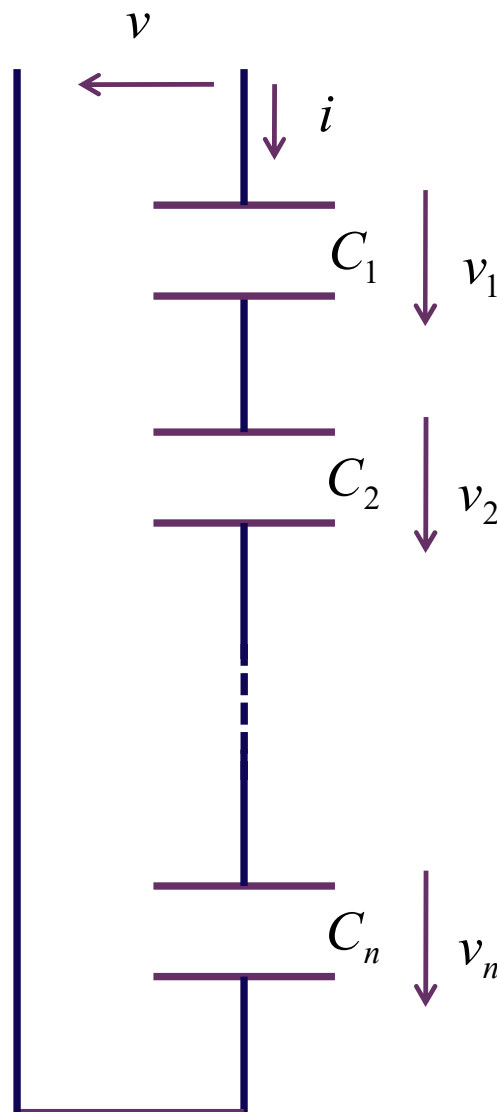
电感并联 对偶 电容串联



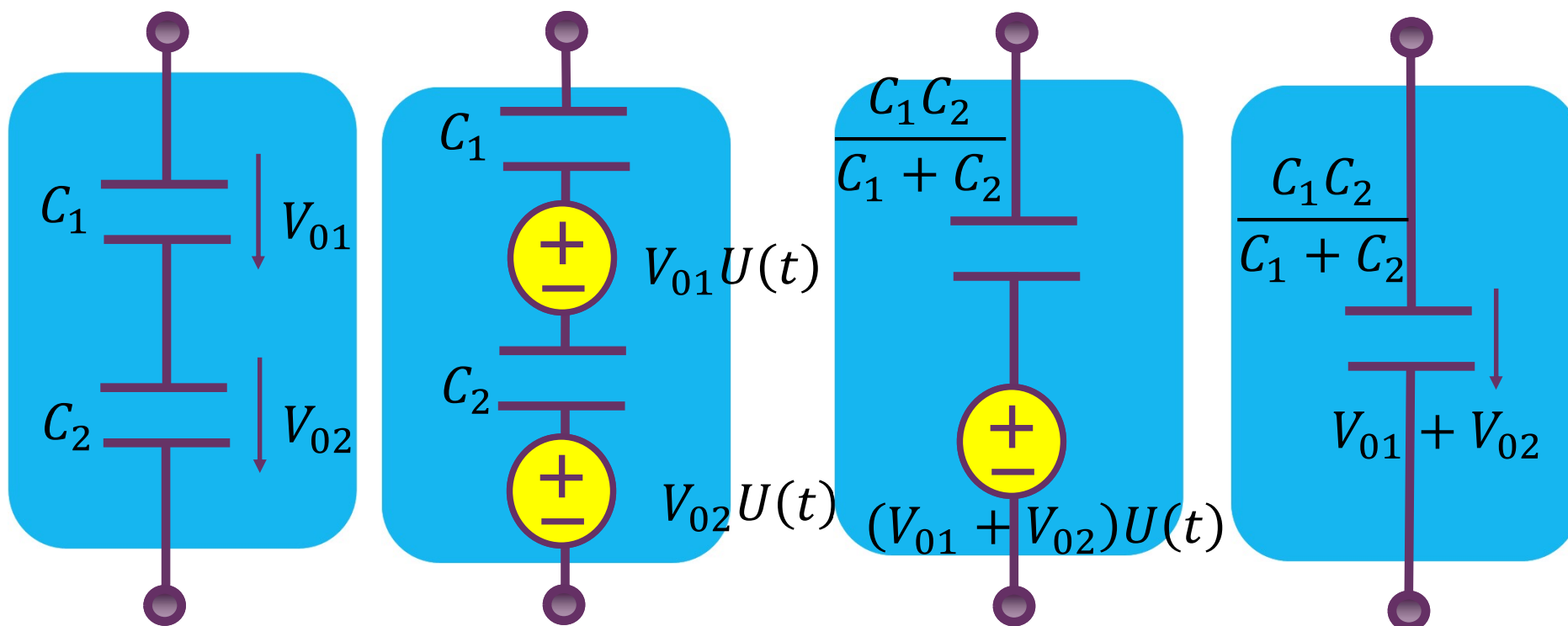
$$\frac{1}{C} = \sum_{k=1}^n \frac{1}{C_k}$$

$$\frac{1}{L} = \sum_{k=1}^n \frac{1}{L_k}$$

假设电感无初始电流 假设电容无初始电压

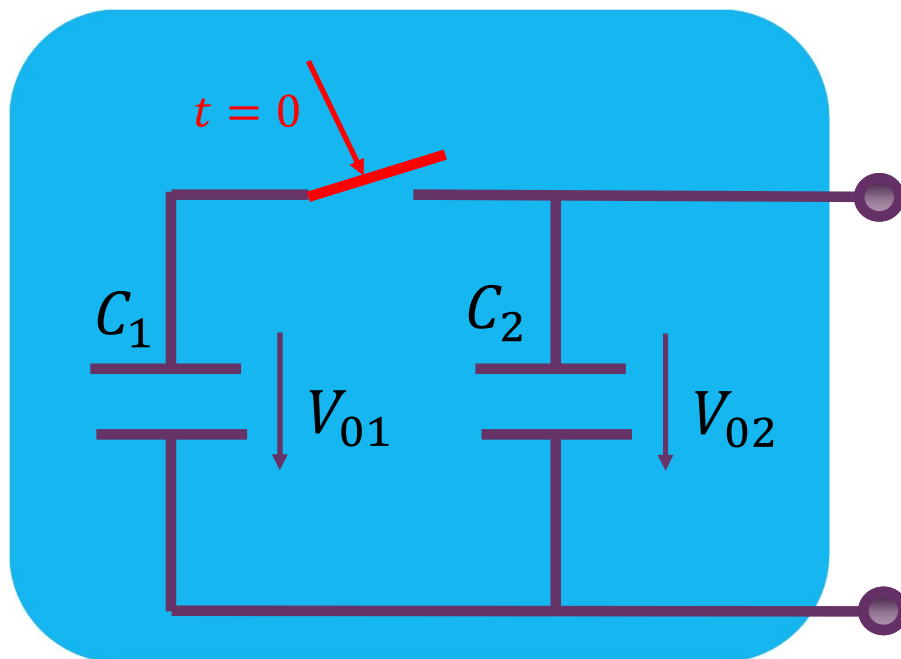


有初始电压的电容串联

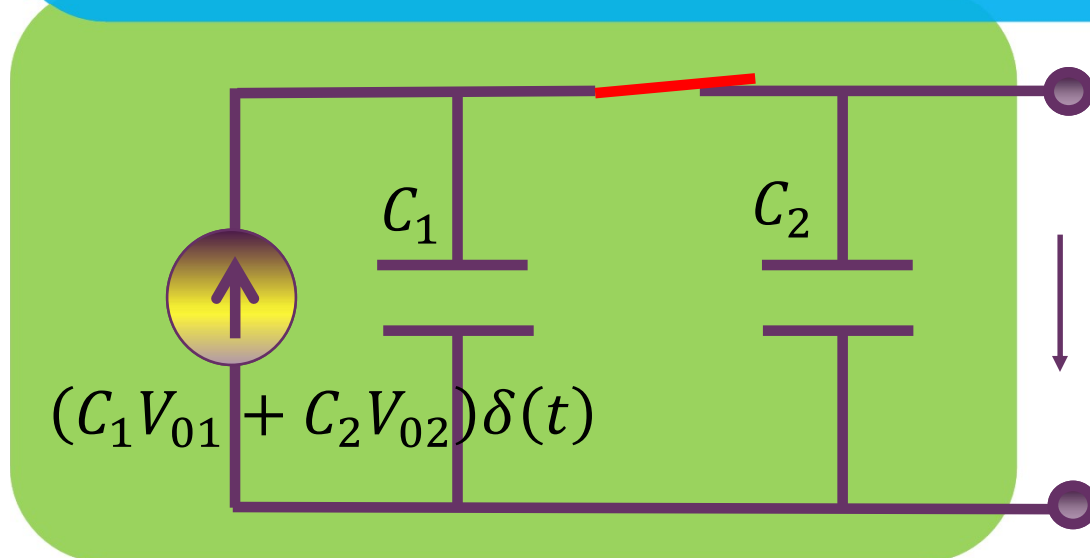
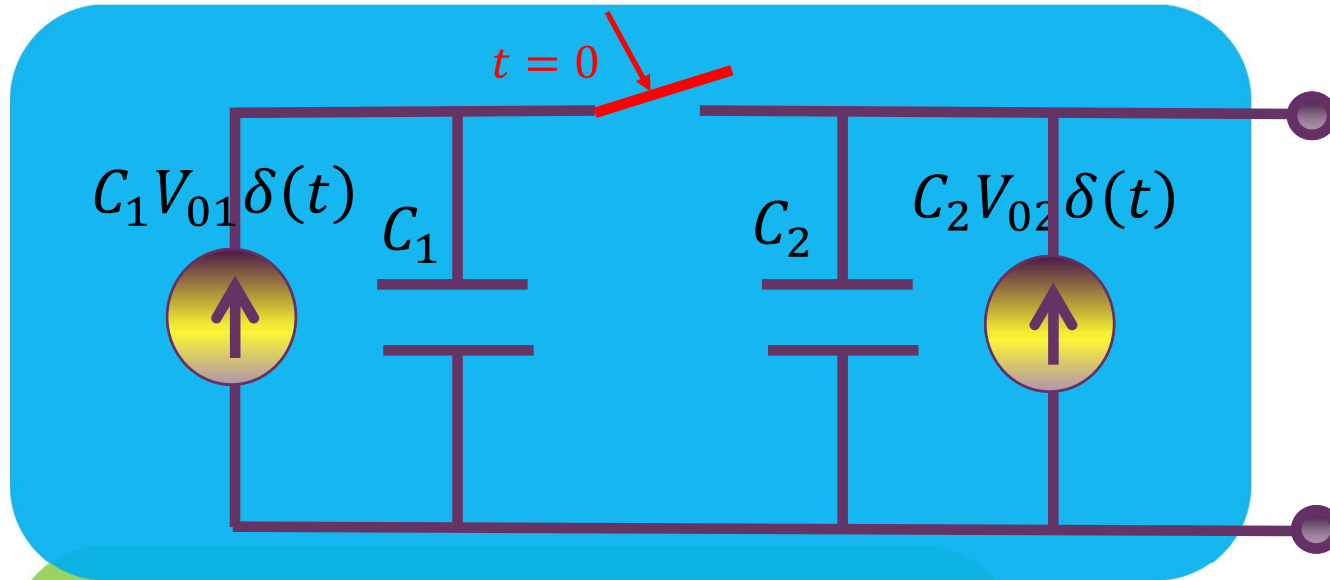


戴维南等效：戴维南电压为端口开路电压，戴维南内阻是去源后的内阻

有初始电压的电容并联

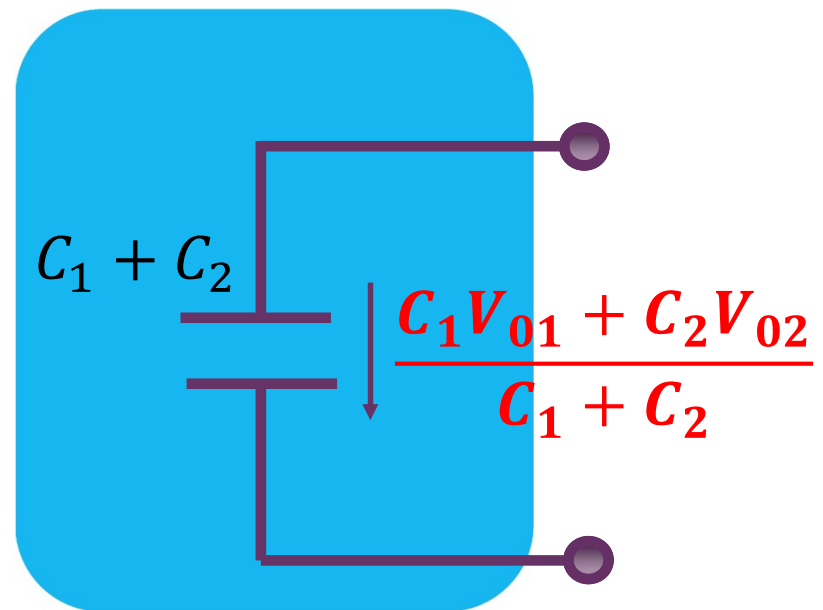
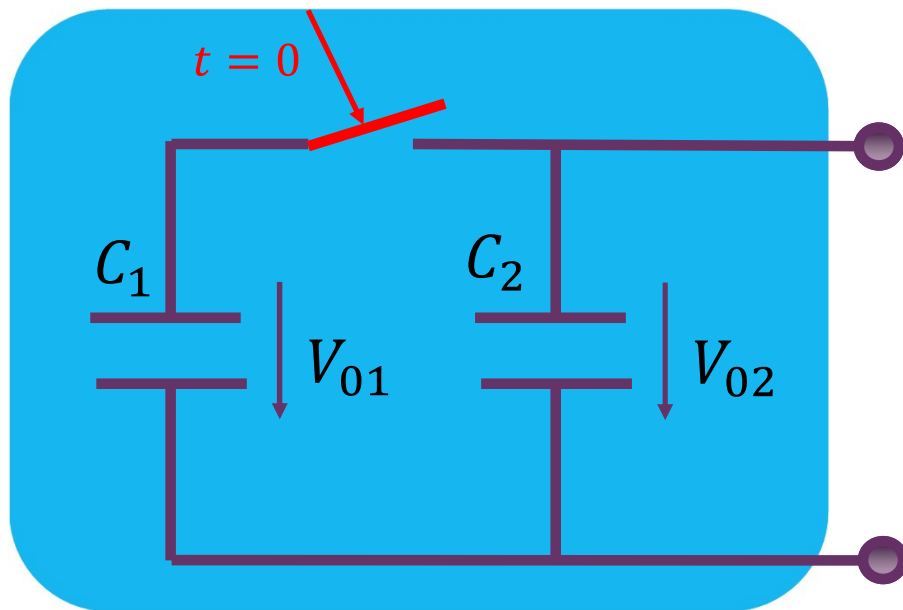


串联用戴维南源等效：压加压，阻加阻
 并联用诺顿源等效：流加流，导加导



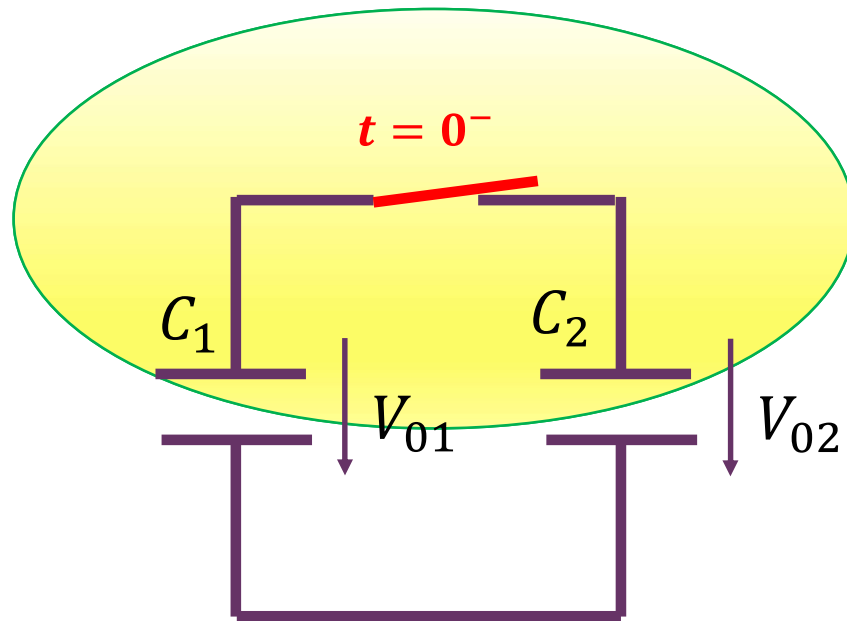
$$\begin{aligned}
 v(0^+) &= \frac{1}{C} \int_{0^-}^{0^+} i(t) dt \\
 &= \frac{1}{C_1 + C_2} \int_{0^-}^{0^+} (C_1 V_{01} + C_2 V_{02}) \delta(t) dt \\
 &= \frac{C_1 V_{01} + C_2 V_{02}}{C_1 + C_2}
 \end{aligned}$$

有初始电压电容并联---等效电路



另外一种理解：电荷守恒

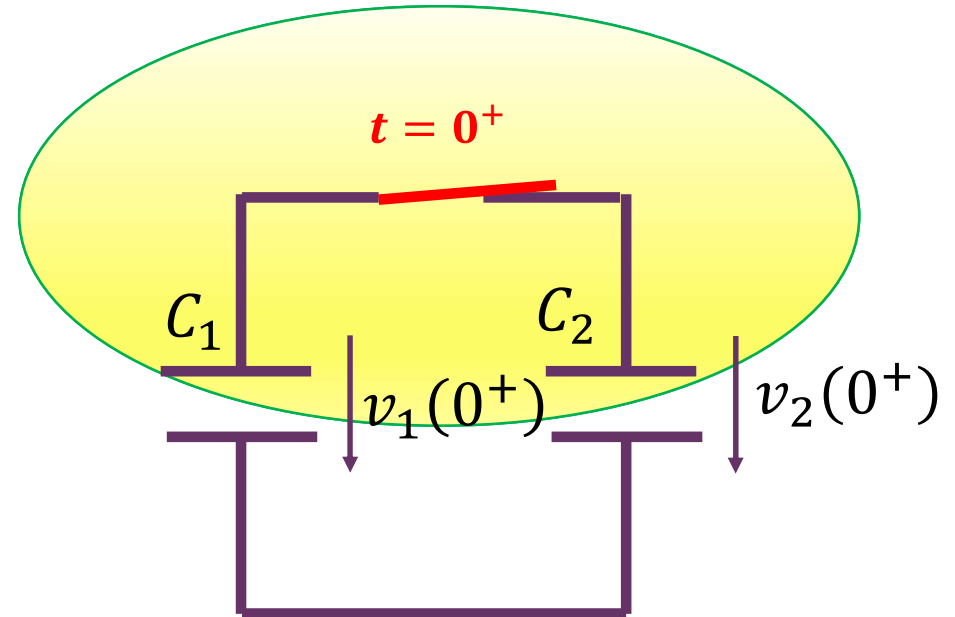
$$KVL: v_2(0^+) = v_1(0^+)$$



封闭空间内的电荷量为

$$C_1 V_{01} + C_2 V_{02}$$

$$v_2(0^+) = v_1(0^+) = \frac{C_1 V_{01} + C_2 V_{02}}{C_1 + C_2}$$



封闭空间内的电荷量不变

$$\begin{aligned} & C_1 V_{01} + C_2 V_{02} \\ &= C_1 v_1(0^+) + C_2 v_2(0^+) \\ &= (C_1 + C_2) v_2(0^+) \end{aligned}$$

其对偶电路（具有初始电流的电感串联）的分析留做作业

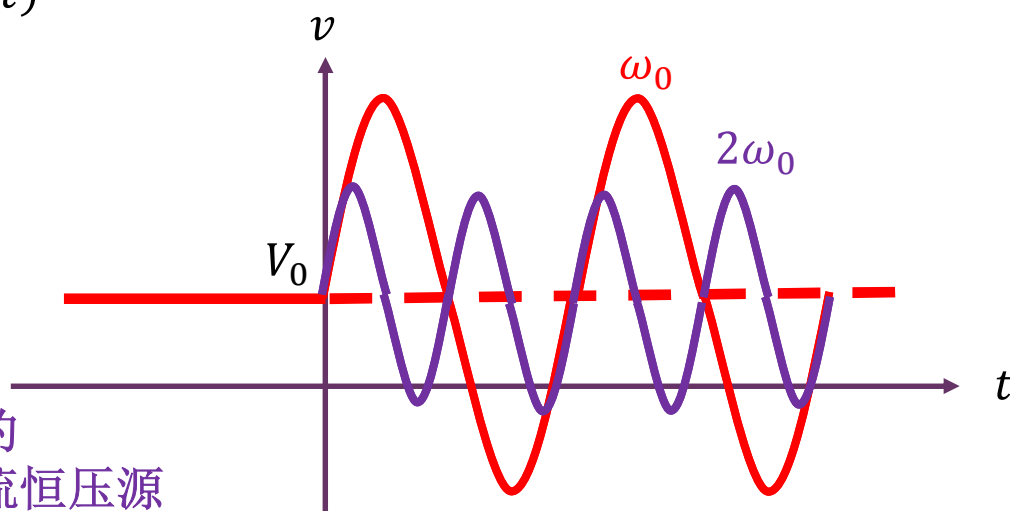
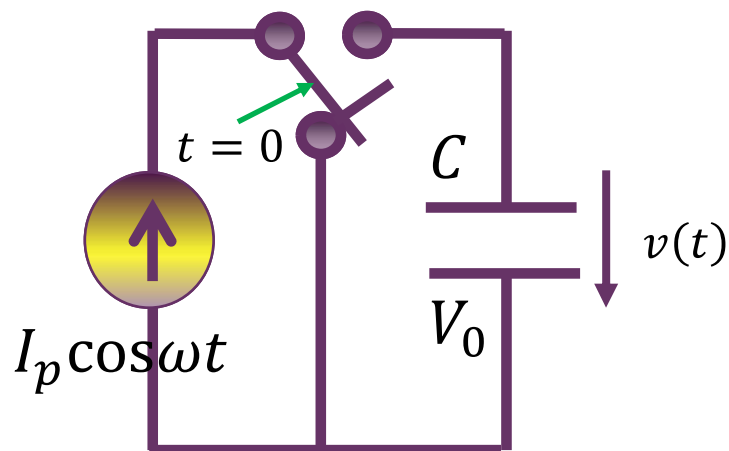
例1：正弦波电流源驱动电容

ωC 具有电导的S量纲，被称为电纳，
和电导一并统称为导纳；导纳定义见
后序章节：不区分导纳和电导

$$v(t) = V_0 + \frac{1}{C} \int_0^t i(\tau) d\tau$$

$$= V_0 + \frac{1}{C} \int_0^t I_p \cos \omega \tau d\tau$$

$$= V_0 + \frac{I_p}{\omega C} \sin \omega t \quad t > 0$$



对交流而言，电容是高频短路的
当频率极高时，电容相当于直流恒压源

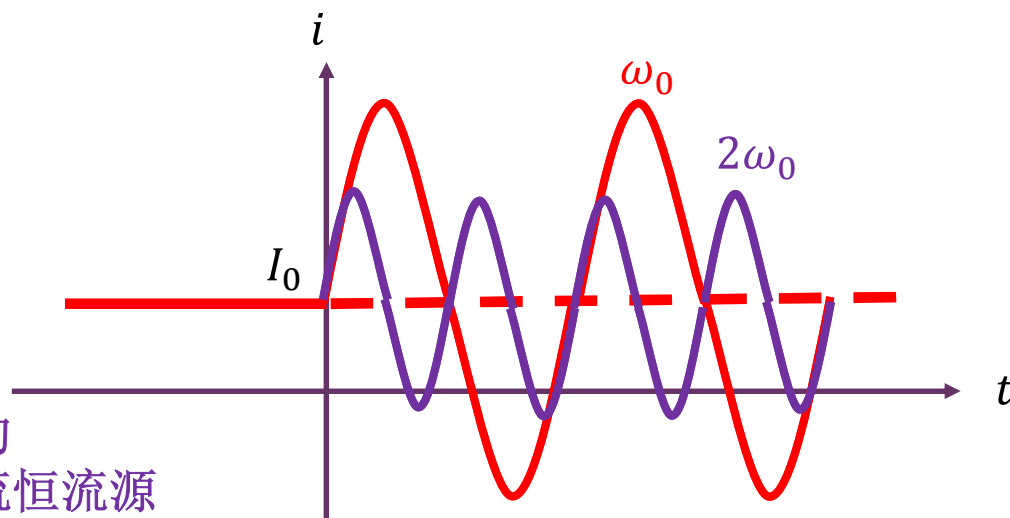
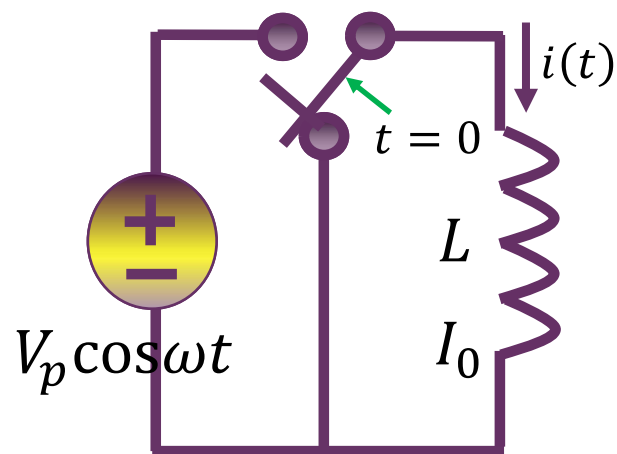
例2：正弦波电压源驱动电感

ωL 具有电阻的 Ω 量纲，被称为电抗，
和电阻一并统称为阻抗；阻抗定义见
后续章节：不再区分电阻和阻抗

$$i(t) = I_0 + \frac{1}{L} \int_0^t v(\tau) d\tau$$

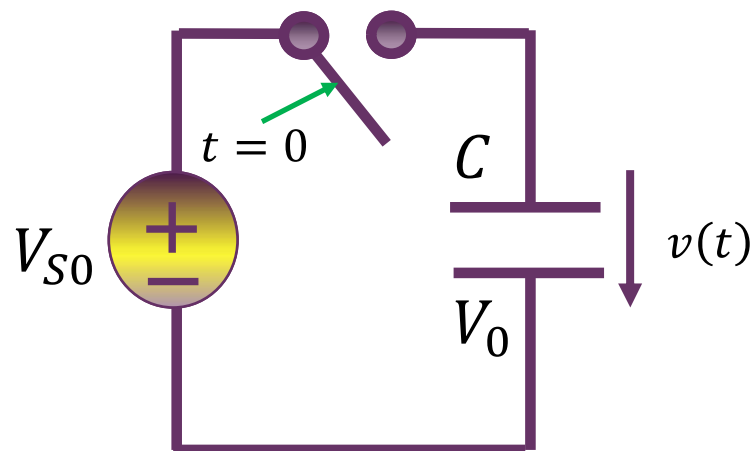
$$= I_0 + \frac{1}{L} \int_0^t V_p \cos \omega \tau d\tau$$

$$= I_0 + \frac{V_p}{\omega L} \sin \omega t \quad t > 0$$



对交流而言，电感是高频开路的
当频率极高时，电感相当于直流恒流源

例3：直流电压源驱动电容



电压源 $t=0$ 瞬间以恒压 V_{S0} 向外提供 $\Delta q = C(V_{S0} - V_0)$ 的电荷量，电源对外做功

$$W_S = \Delta q \cdot V_{S0} = C(V_{S0} - V_0)V_{S0}$$

但是电容储能增加量为

$$\Delta E_C = \frac{1}{2} C V_{S0}^2 - \frac{1}{2} C V_0^2$$

$$v(t) = \begin{cases} V_0 & t < 0 \\ V_{S0} & t > 0 \end{cases}$$

$$= V_0 + (V_{S0} - V_0)U(t)$$

$$i(t) = C \frac{d}{dt} v(t) = C(V_{S0} - V_0)\delta(t)$$

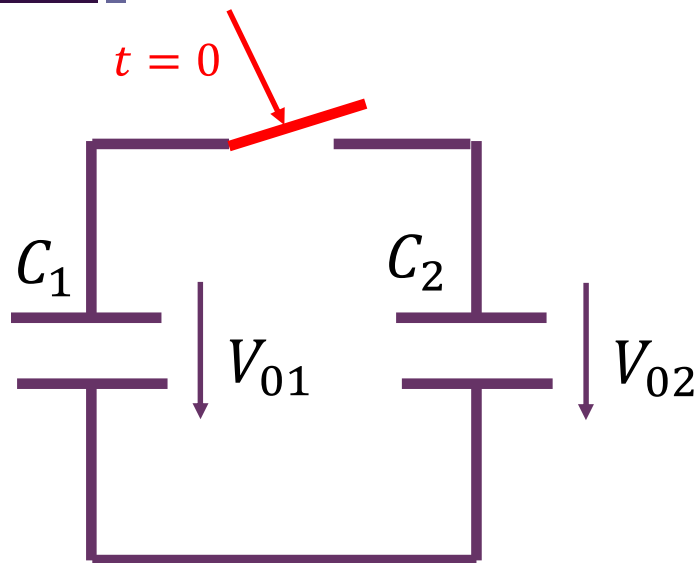
电容极板由此获得的电荷，就是直流恒压源向外提供的电荷，

$$\Delta q = \int_{0^-}^{0^+} i(t) dt = C(V_{S0} - V_0)$$

能量丢到了哪里去了？电路中理想开关为无损元件，短路线为无损元件，电容为无损元件？

$$\Delta E = W_S - \Delta E_C = \frac{1}{2} C (V_{S0} - V_0)^2$$

能量到了哪里去？



$$v_2(0^+) = v_1(0^+) = \frac{C_1 V_{01} + C_2 V_{02}}{C_1 + C_2}$$

$$E(0^-) = \frac{1}{2} C_1 V_{10}^2 + \frac{1}{2} C_2 V_{20}^2$$

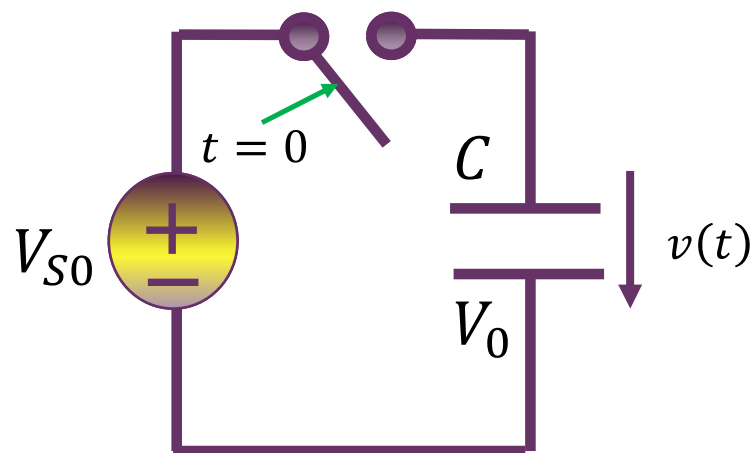
$$E(0^+) = \frac{1}{2} C_1 v_1^2(0^+) + \frac{1}{2} C_2 v_2^2(0^+)$$

$$= \frac{1}{2} (C_1 + C_2) \left(\frac{C_1 V_{01} + C_2 V_{02}}{C_1 + C_2} \right)^2 = \frac{1}{2} \frac{(C_1 V_{01} + C_2 V_{02})^2}{C_1 + C_2}$$

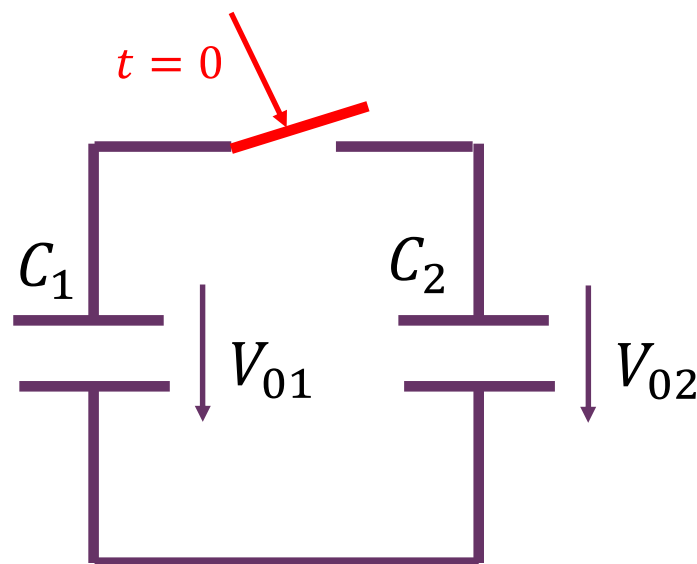
$$\Delta E = E(0^+) - E(0^-) = -\frac{1}{2} \frac{C_1 C_2}{C_1 + C_2} (V_{10} - V_{20})^2 < 0$$

有冲激信号，则存在能量丢失现象！

- 电容电压突变（有冲激电流），电感电流突变（有冲激电压），均可发现有能量丢失现象，丢失的能量到了哪里？
 - 能量守恒定律不成立了么？



$V_0 \neq V_{S0}$ 则有冲激电流 $C(V_{S0} - V_0)\delta(t)$
 丢失能量 $\frac{1}{2} C(V_{S0} - V_0)^2$



$V_{01} \neq V_{02}$ 则有冲激电流 $\frac{C_1 C_2}{C_1 + C_2} (V_{01} - V_{02})\delta(t)$
 丢失能量 $\frac{1}{2} \frac{C_1 C_2}{C_1 + C_2} (V_{10} - V_{20})^2$

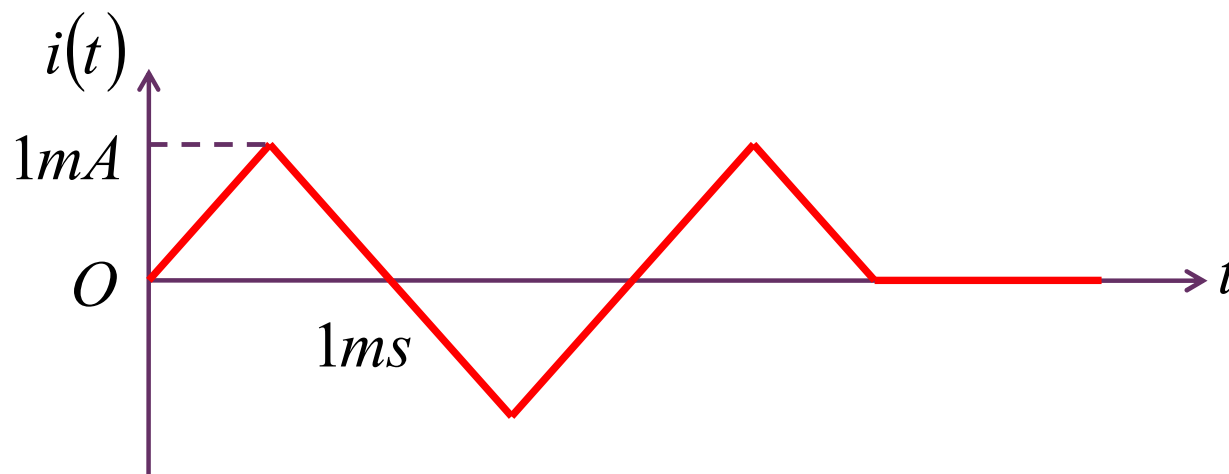
- 下节课解决这个问题：通过考察信号特性，说明能量丢失到了哪里？

本节课小结

- 电容和电感是对偶元件
- 电容和电感具有三个基本特性：记忆性、连续性、无损性
- 具有初始电压的电容、具有初始电流的电感是有源的，可用戴维南电压源形式或诺顿电流源形式表述其源等效
- 在有界电流假设下，电容电压连续变化；在有界电压假设下，电感电流连续变化
- 电容电压突变，说明电容电流出现冲激；电感电流突变，说明电感电压出现冲激
 - 电路中出现冲激电压或冲激电流时，无法从电路角解释能量丢失问题

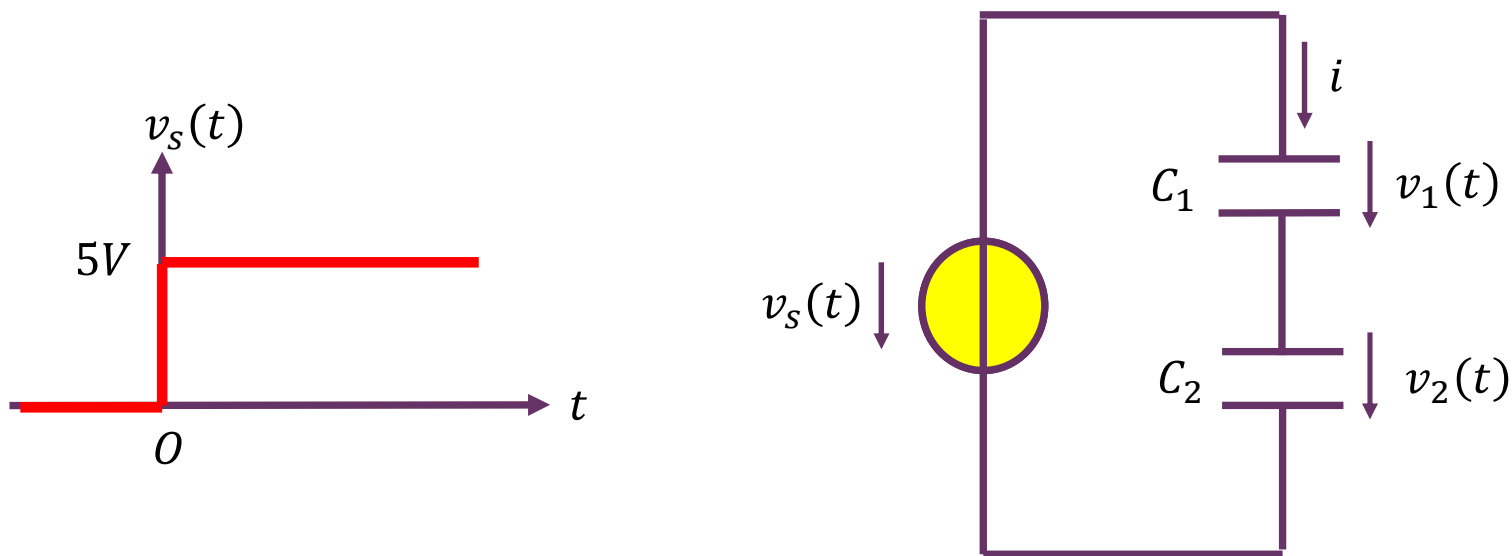
作业1 电容上的信号分析

- 某电容器电容容值为 $1\mu\text{F}$ ，电容初始电压为 5V ，加在电容两端电流源的电流变化规律如图所示
 - (1) 求电容上最终存储的电荷量为多大
 - (2) 列写电容电流、电容电压、电容极板电荷量、电容存储电能随时间变化的表达式（教材例题缺）
 - (3) 画出电流、电压、电荷、电能时域波形



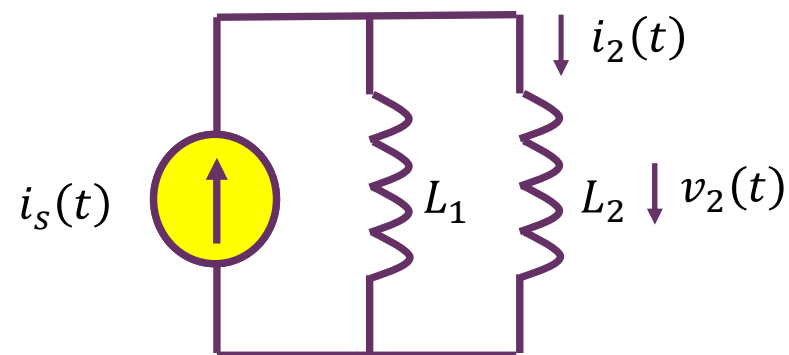
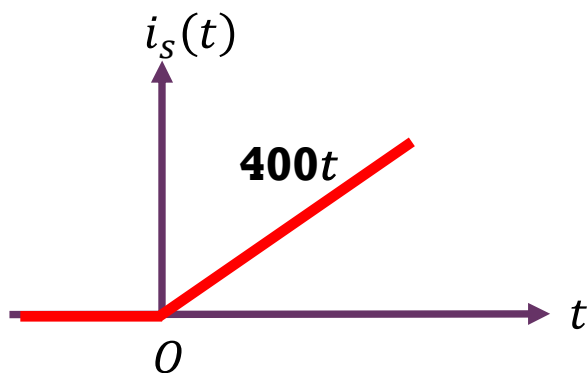
作业2 电容分压分析

- 图中电路中两个电容的初始电压为0V， $V_s(t) = 5U(t)$ V为一个阶跃恒压源，已知电流 $i(t) = 4\delta(t)$ μ A，电容 C_2 上的电压 $v_2(t) = 1U(t)$ V。求：
 - (1) C_1 和 C_2 各是多少？
 - (2) 电路稳定后，两个电容上存储的总能量为多少？
 - (3) 恒压源提供的电能是否全部被电容所吸收并存储？



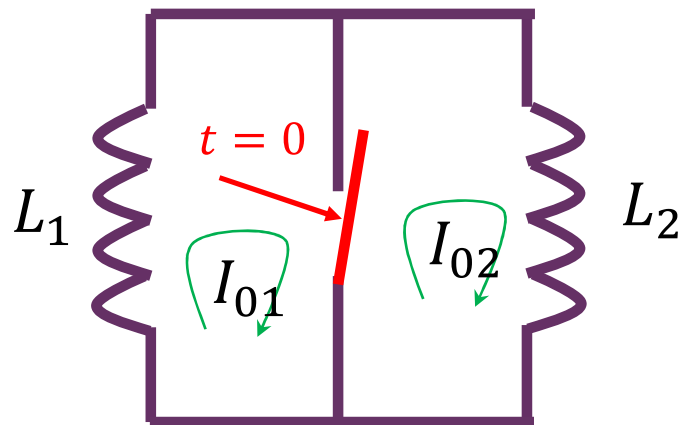
作业3 电感分流分析

- 图中电路， $i_s(t)$ 是一个斜升电流源，如图所示， $i_s(t) = 400tU(t)$ A。电感 L_2 电流 $i_2(t) = 100tU(t)$ A和电压 $v_2(t) = 0.3U(t)$ V，假设两个电感初始电流均为0。求： L_1 和 L_2 各是多少。



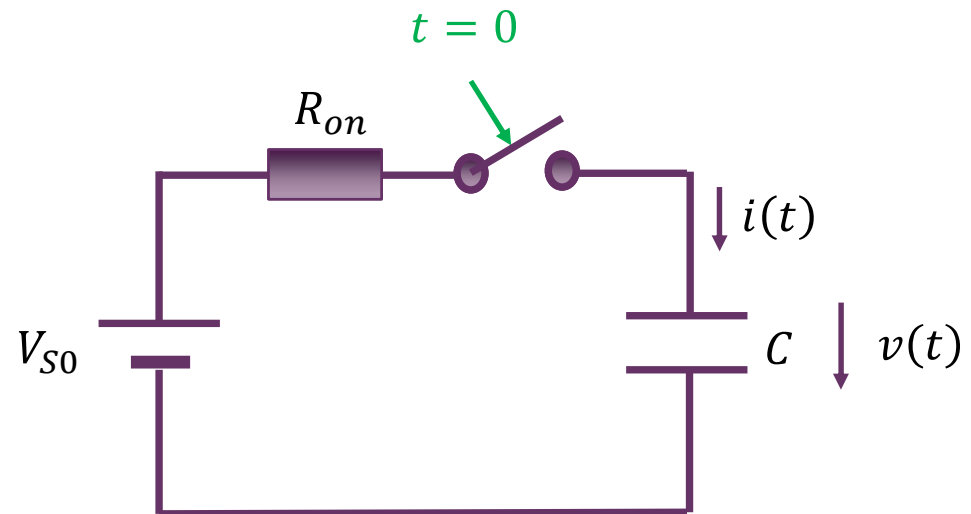
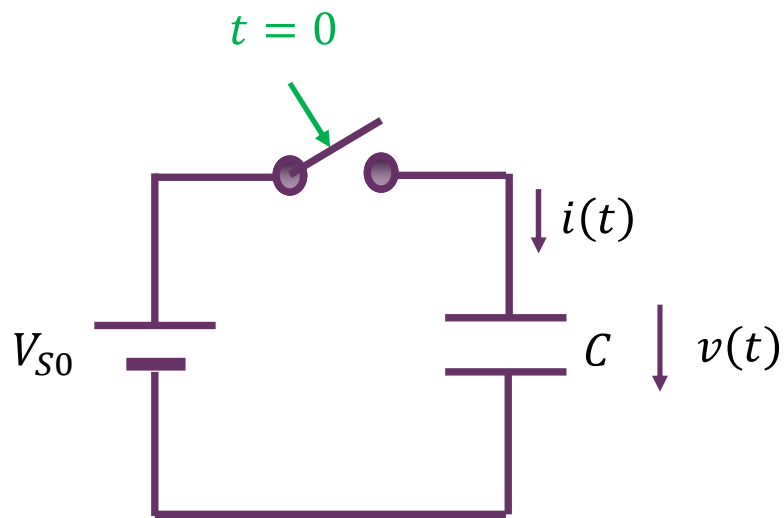
作业4 具有初始电流的电感串联

- 如图所示， $t < 0$ 时，开关闭合，电感 L_1 和电感 L_2 分别具有如图所示的初始电流 I_{01} 和 I_{02} 。 $t = 0$ 瞬间开关断开，求开关断开后，电感回路中的电流（串联电感电流）大小，并说明开关断开前后电感中的储能是否有变化



CAD：理解电路中的冲激与阶跃

- 电容初始电压为0， $t=0$ 时开关闭合
 - 理想开关：电容电压为阶跃电压 $v(t) = V_{S0}U(t)$ ，电容电流为冲激电流 $i(t) = CV_{S0}\delta(t)$ ：仿真工具应该无法仿真这种情况：此时有能量丢失，能量是不守恒的
 - 真实开关：存在导通电阻 R_{on} ，通过改变导通电阻阻值
 - 仿真研究随着电阻 R_{on} 阻值的减小，电容电压越来越接近理想阶跃电压，电容电流越来越接近理想冲激电流（其面积始终为 CV_{S0} ，但宽度越来越窄），以此理解真实电路中的阶跃信号和冲激信号的真实形态
 - 验证能量守恒：当电容电压稳定后，分析从开关闭合到电路稳定（进入稳态），电源输出能量等于该过程电阻消耗能量加最终电容存储的能量
 - 能量为功率的积分，训练用仿真工具计算积分结果



本节课内容在教材中的章节对应

- P576-587: 8.1.1 电容和电感的特性
- P594: 8.1.3 纯容纯感串并联
- P679-683: 冲激与阶跃
- P683-684: 有初值电容电感的源等效